

Introduction to the LHC-ATLAS experiment

Toshi SUMIDA

26th April 2016
Kyoto HEP group meeting



LHC @ CERN

- **世界最大、最高エネルギーの
陽子・陽子衝突型加速器**

- CERN 付近(ジュネーブ)の
スイスとフランスの国境に建設された。
- 全周27 km、 地下100mのトンネルに設置。

- **最大衝突エネルギー**

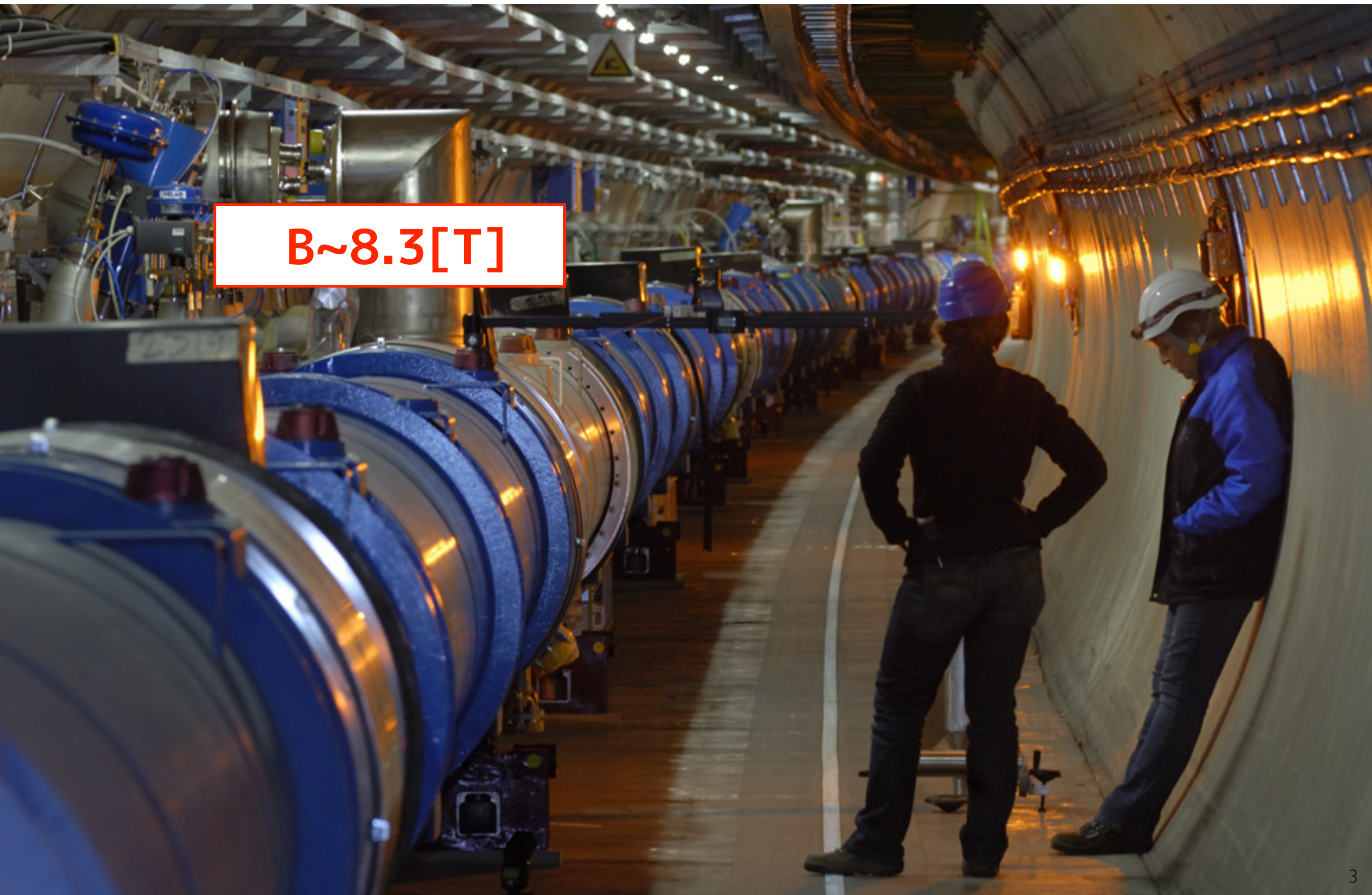
- $7 \text{ TeV} + 7 \text{ TeV} = 14 \text{ TeV}$
 - 2012年は $4+4 = 8 \text{ TeV}$ 。
 - 2015年から 13 TeV で運転している。

- **4つの実験**

- ATLAS, CMS, ALICE, LHCb



LHCトンネル内部

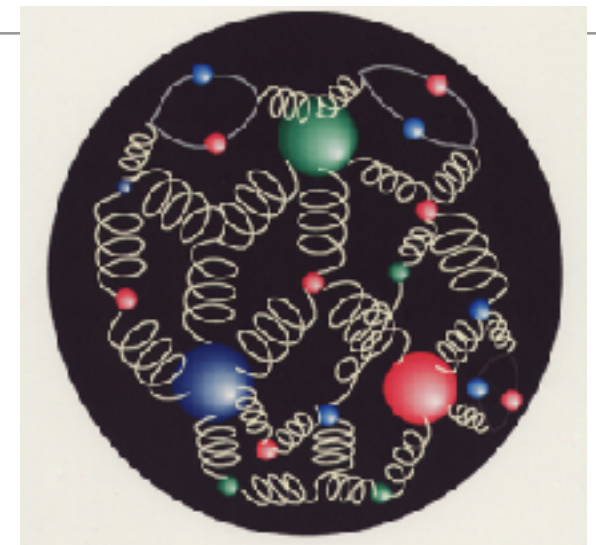


コライダー実験

・陽子は素粒子ではない

- 陽子は、クォーク3個の他にも、グルーオンや生まれては消える沢山の「海クォーク」のかたまり。
 - 衝突させても陽子の全てのエネルギーが反応に使われるわけではない。

陽子の構成



・加速器の種類

・電子・陽電子衝突型加速器

- メリット
 - 素粒子同士の衝突なのでエネルギーがわかっている。
 - 反応がきれい。

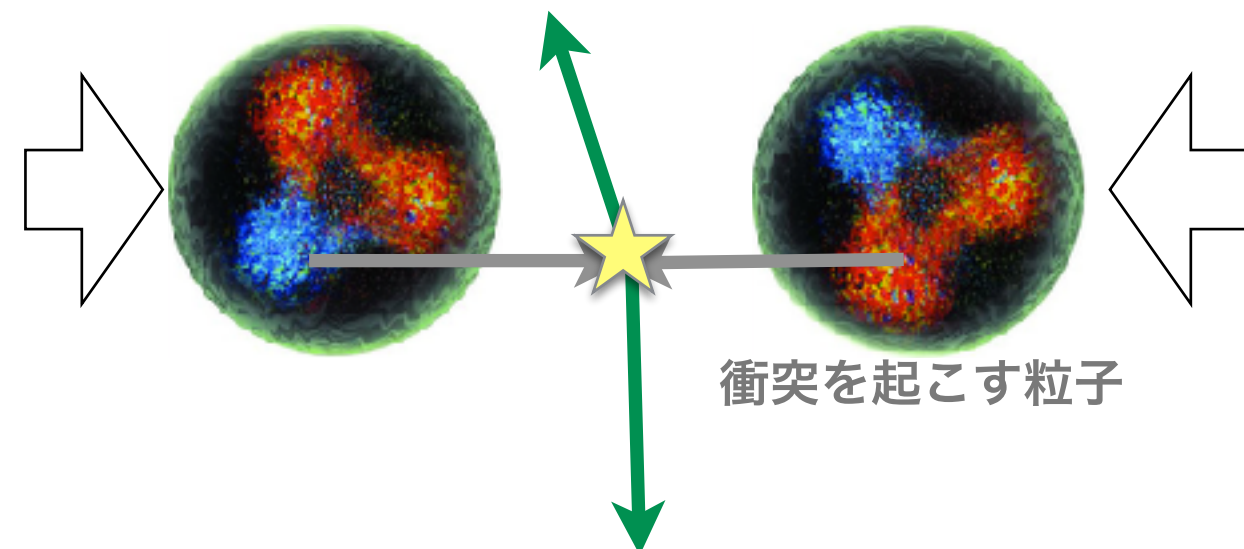
- デメリット
 - 加速器に沿って曲げるとときにエネルギーを失う(シンクロトロン放射)ので、エネルギーを上げるのが難しい。
 - ✓ 線型加速器が計画されている (ILC @ 北上山地)

‣ 精密測定向き

・陽子・(反)陽子衝突型加速器

- メリット
 - 最大エネルギーを高くできる→色々な未知の反応が起こる
- “発見”向き。

衝突で生成する粒子



検出器と粒子の識別

- ・衝突で生成した「全ての」粒子を捕えたい。

- 複数の検出器を組み合わせる。

- ・検出器の種類

- 飛跡検出器

- ・荷電粒子の飛跡をとらえる。

- カロリメータ

- ・粒子のエネルギーを測定する。

- 電磁カロリメータ

- ハドロンカロリメータ

- がある。

- ミューオン検出器

- ・粒子の識別

- 例) 電子(e) \leftrightarrow 光子(γ)

- ・カロリメータでは似た反応を起こす。

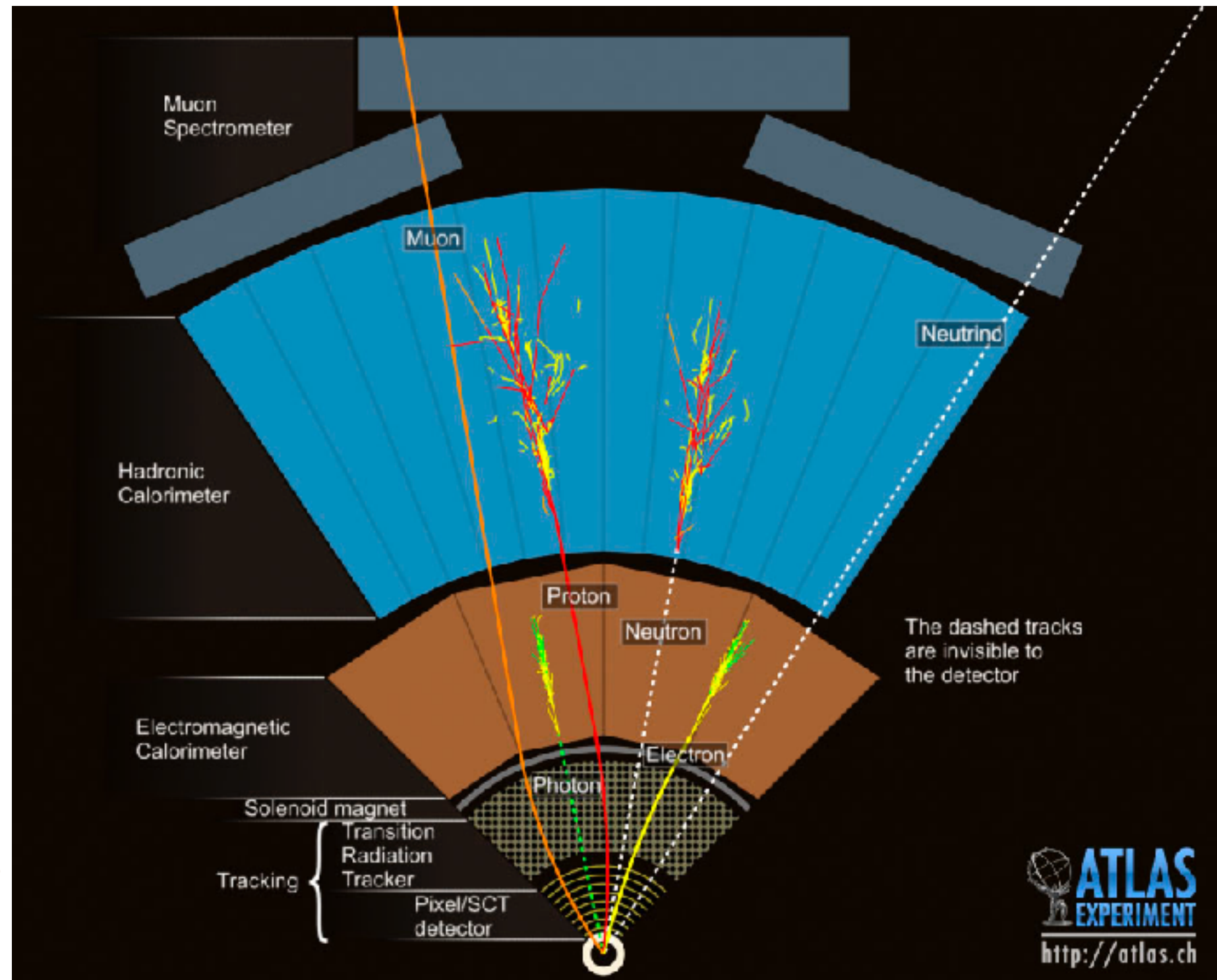
- 飛跡の有無で判断。

- 例) 電子 \leftrightarrow 荷電パイ中間子(π)/陽子

- ・カロリメータの層で識別。

- ミューオン(μ)

- ・飛跡+ミューオン検出器。

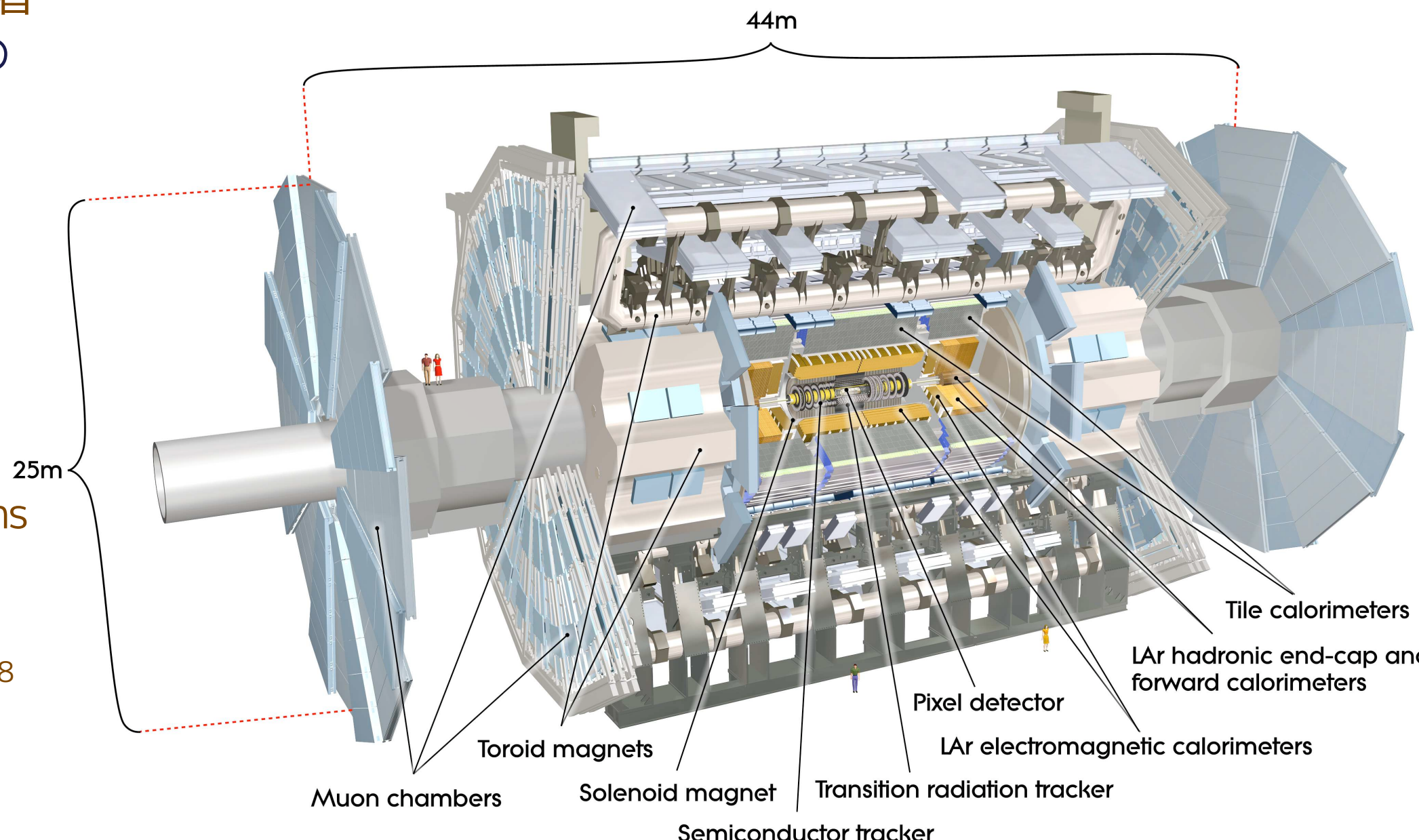


ATLAS 実験

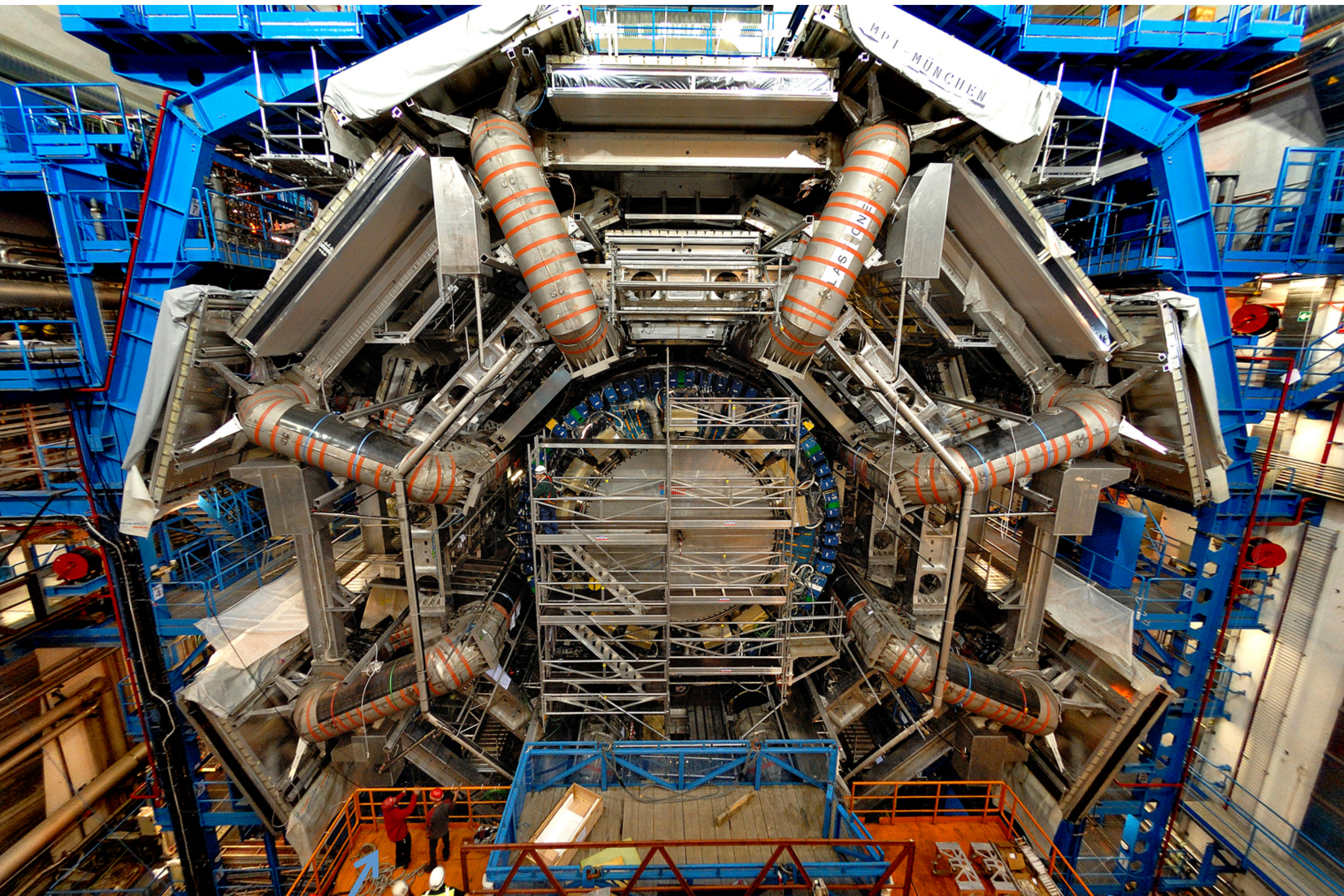
- A Toroidal LHC ApparatuS
 - 100GeV~TeVスケールでの様々な物理に対応した汎用検出器

- コラボレーション
 - ~3000人の研究者
 - ▶ 1000人以上の PhD students
 - ~40ヶ国
 - ~180機関
 - ▶ 日本も参加

- ATLAS検出器
 - 重量: ~7000 tons
 - 高さ: 25m
 - 全長: 44m
 - センサー数: $\sim 10^8$

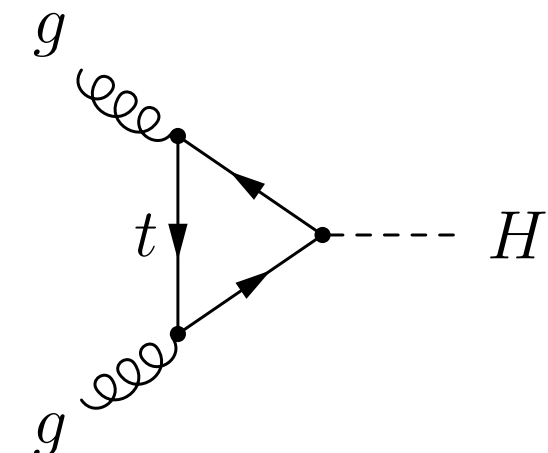


ATLAS 検出器

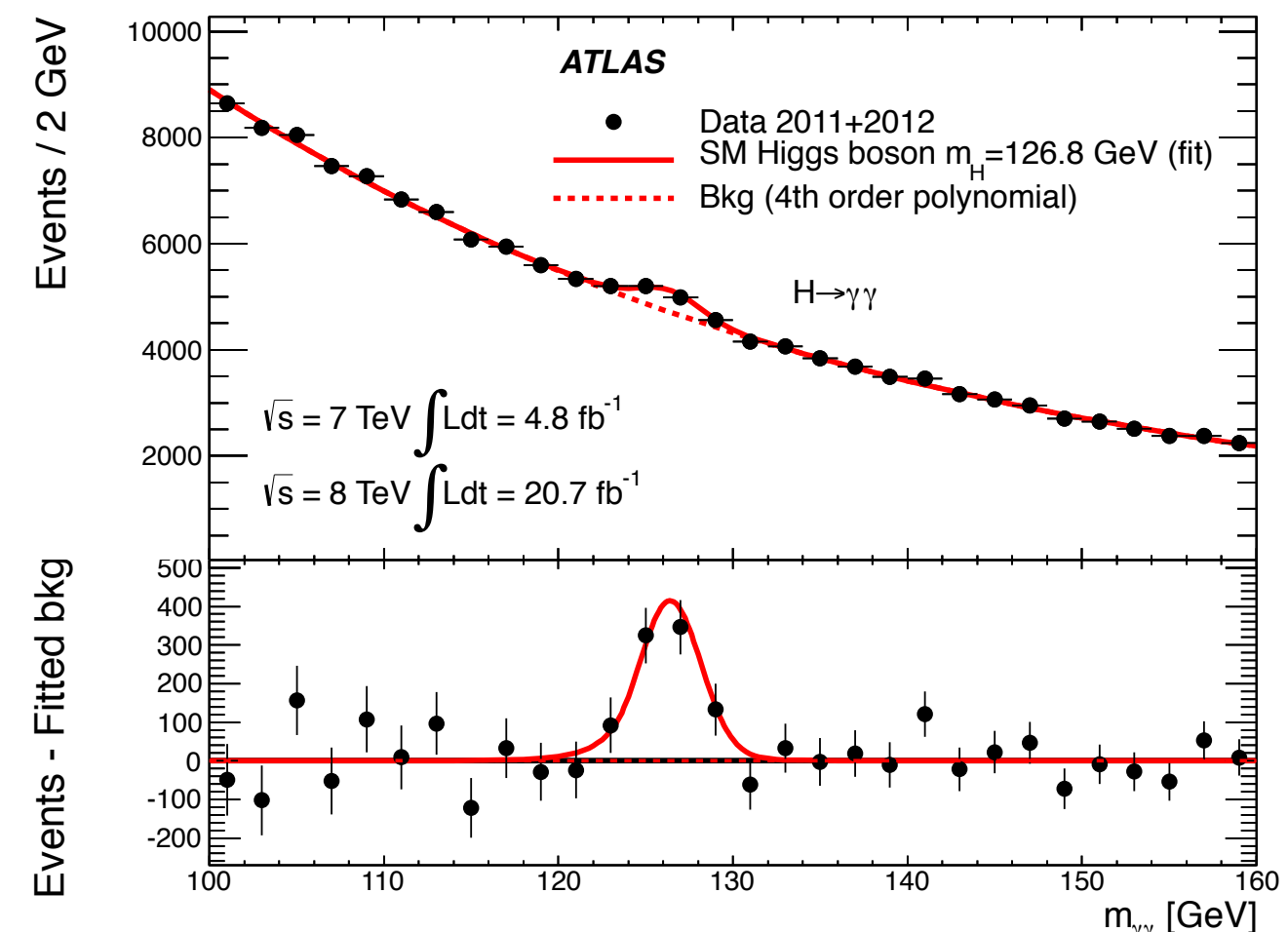
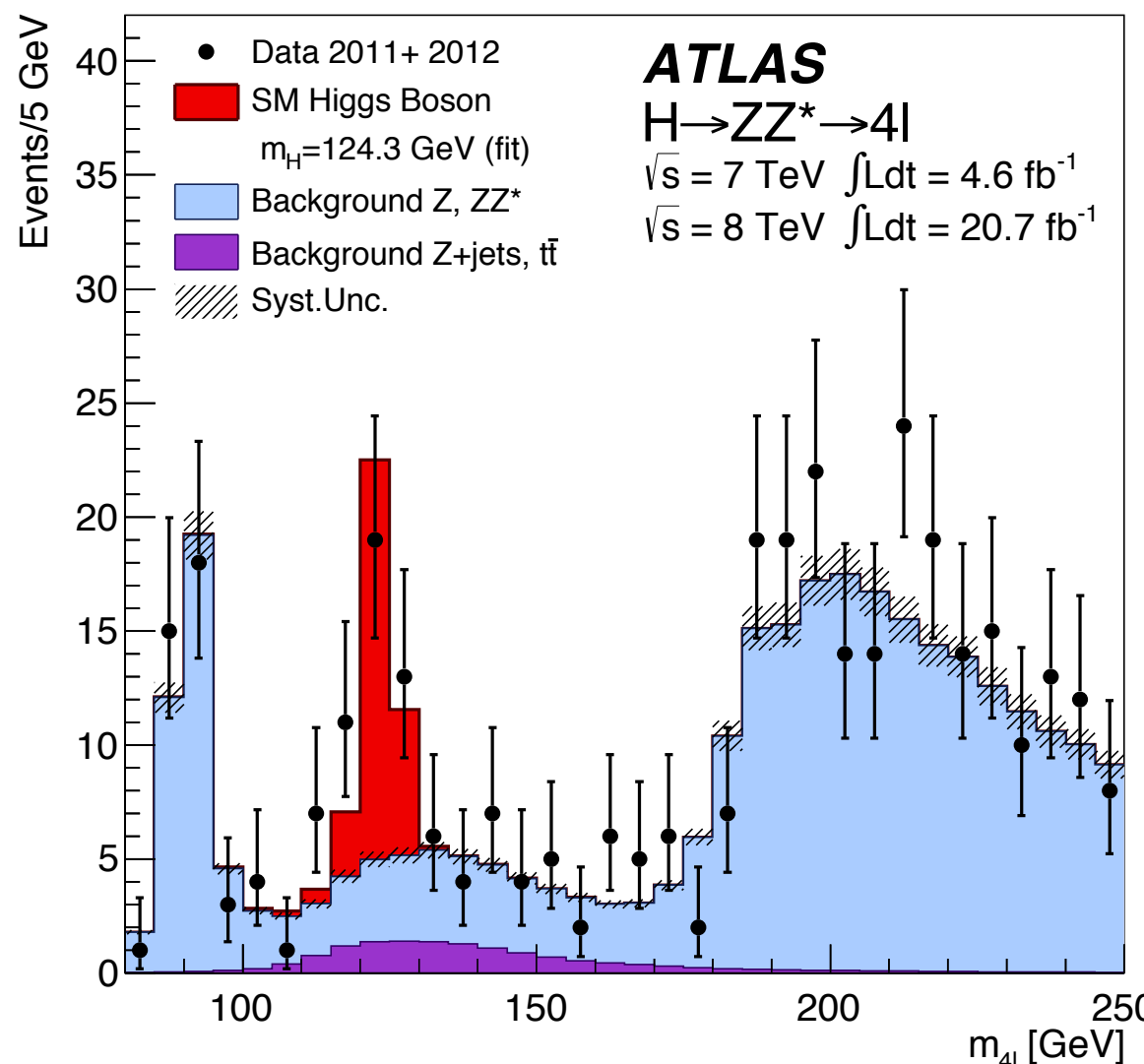


ヒッグス粒子発見

- ・ヒッグスの生成 @ LHC
 - gluon-gluon fusion がメイン
- ・崩壊
 - $H \rightarrow \gamma\gamma, ZZ$
 - ▶ 不変質量分布にピークを観測 → 新粒子発見！
 - $m_H = 126 \text{ GeV}$
 - ▶ スピン0、パリティ+を確認 → ヒッグス!!



✓ 2012年ノーベル賞 !!!



ヒッグス粒子発見

- 標準模型の完成とその後

- まだ、素粒子物理に謎は多い

- ▶ 階層性問題

- 「裸の質量」 + 輻射補正で得られる
ヒッグスの質量が、実際に測られた
電弱スケールに対して大きすぎる。

- ▶ ダークマターの正体??

- ▶ etc. etc…

- この2つを解決してくれそうだった超対称性は、
LHC で一向に見つからない…。

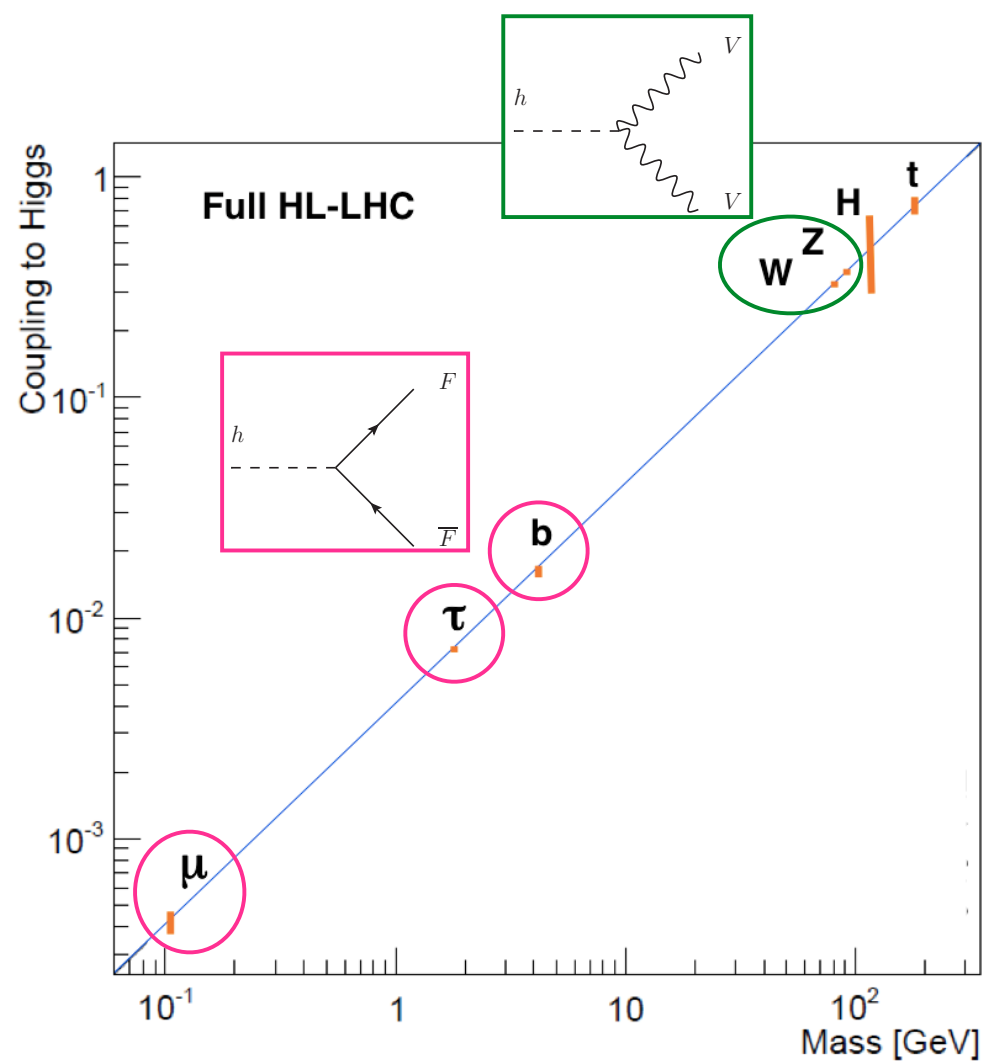
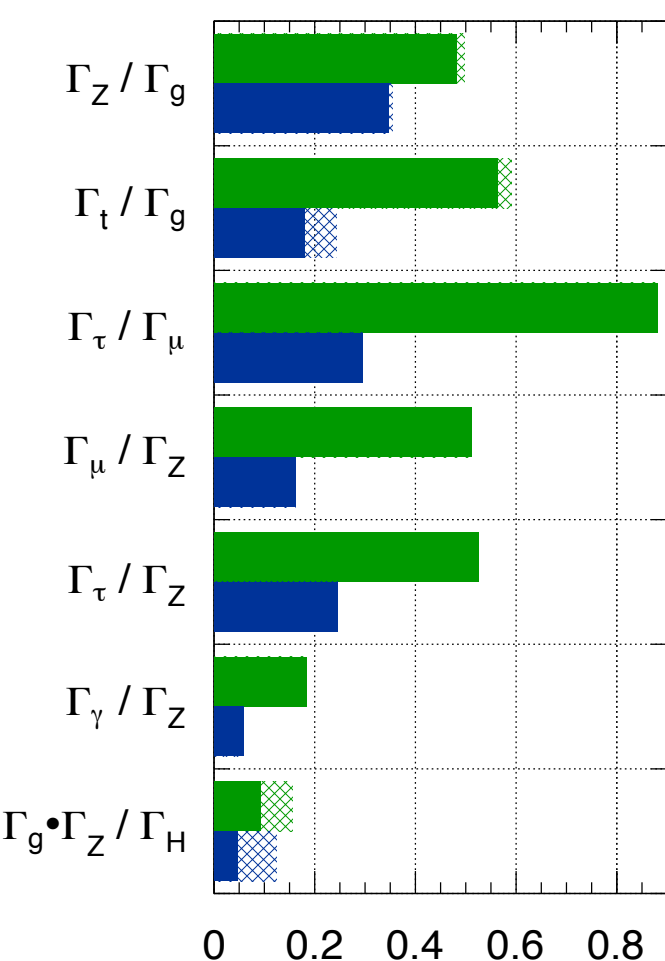
- ▶ 新しいアプローチでの新物理探索が必要

- モデルに依らない新粒子探索。

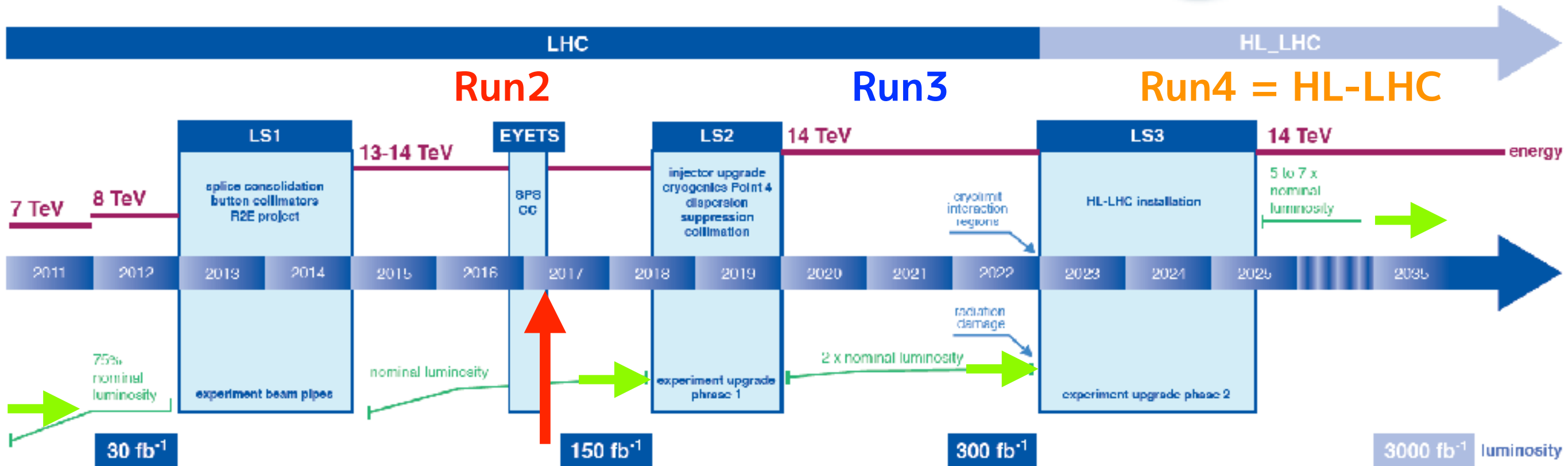
- ヒッグスの結合定数の精密測定。

✓ これらをやるためににはもっと多くのデータが必要

$$\sqrt{s} = 14 \text{ TeV}: \int L dt = 300 \text{ fb}^{-1}, \int L dt = 3000 \text{ fb}^{-1}$$



LHC アップグレード



- LHC 加速器の強度増大計画
 - (Run1: 2010 - 2012)
 - ▶ 7-8 TeV, $L \sim 0.7 \times 10^{34}$, $\int L \sim 25 / \text{fb}$
 - Run2: 2015 - 2018
 - ▶ 13-14 TeV, $L \sim 1.5 \times 10^{34}$, $\int L \sim 150 / \text{fb}$
 - Run3: 2020 - 2022
 - ▶ 14 TeV, $L \sim 2 \times 10^{34}$, $\int L \sim 300 / \text{fb}$
 - Run4 (HighLumi-LHC) : 2025 -
 - ▶ 14 TeV, $L \sim 5-7 \times 10^{34}$, $\int L \sim 3000 / \text{fb}$

▶ 加速器が増強されたら
それに合わせて検出器の
アップグレードも必要。

物理事象とトリガー

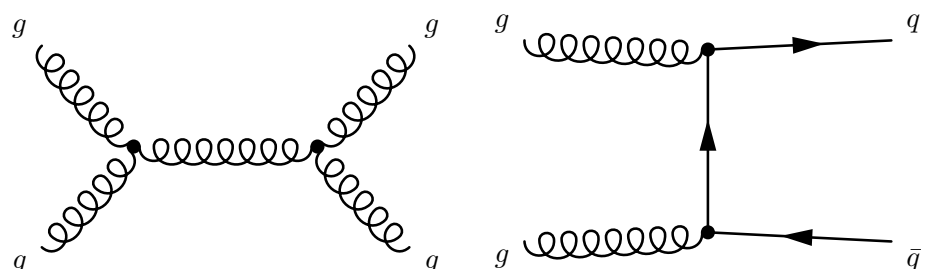
- 反応断面積

 - QCD 反応

 - ▶ 総断面積

 - $\sim 100 \text{ mb} = 10^9 \text{ Hz} @ 7\text{e}33$

 - ▶ Hard process (Jet):



 - $\sim 1 \mu\text{b} = 100 \text{ Hz}$ (e.g. $E_T(\text{jet}) > 100 \text{ GeV}$)

 - ▶ ヒッグス粒子生成 (ex. 125 GeV):

- $\sim 30 \text{ pb} = 0.3 \text{ Hz}$

- ✓ $\sigma(H)/\sigma(\text{total}) \sim 10^{-10}$!!

- ・トリガー(どういうデータを取るか)が非常に重要

proton - (anti)proton cross sections

Y-axis: σ (nb) on a logarithmic scale from 10^{-7} to 10^9 .

X-axis: \sqrt{s} (TeV) on a logarithmic scale from 0.1 to 10.

Legend:

- σ_{tot} (Blue line)
- σ_b (Red line)
- $\sigma_{\text{jet}}(E_T^{\text{jet}} > \sqrt{s}/20)$ (Magenta line)
- $\sigma_{\text{jet}}(E_T^{\text{jet}} > 100 \text{ GeV})$ (Blue line)
- σ_w (Green line)
- σ_z (Green line)
- σ_{WW} (Blue line)
- σ_t (Green line)
- σ_{ZZ} (Green line)
- σ_{ggH} (Dark Red line)
- σ_{WH} (Dark Red line)
- σ_{VBF} (Dark Red line)

Annotations:

- $M_H=125 \text{ GeV}$ (Blue bracket)
- WJS2012 (Green text)

Vertical dashed lines indicate the Tevatron and LHC energy ranges.

11

京都 ATLAS グループ

・スタッフ

- 石野 → 2016.4 から東大 ICEPP へ。CERN 滞在率 ~80% in 2017
 - 京都メンバーとしてグループに残っている。
 - ATLAS Run coordinator, TileMuon プロジェクトリーダー、Phase2 アップグレードコンビナー、etc.
- 隅田 : 2016.2 まで、TGC グループリーダーとして CERN 滞在、2016.4 に帰国。
 - HL-LHC のためのミューオントリガーの改良、TGC ソフトウェア開発、HLT-Calorimeter coordinator jet/etmiss グループデータマネジャー、ダイボソン解析(予定)、etc.

・学生

- 田代(D5)
 - Vector-Like Quark 探索解析。L1-Muon-EC への InnerCoincidence の導入。
- 救仁郷(D3)
 - Di-boson resonance 探索。Boosted boson のための large-R ジェットの測定。TileMuon トリガー、BurstStopper。
- 赤塚(D1)
 - エンドキャップ部 L1 ミューオントリガー用新基盤の開発とトリガーロジックの構築、BurstStopper。
 - New Small Wheel からの情報
- 野口(D1)
 - フォワード部 ミューオン検出器(CSC)のハイレベルトリガーへの導入。
- 岡崎(M2)
 - エンドキャップ部 L1 ミューオントリガー用新基盤の開発とトリガーロジックの構築。
 - RPC BIS7/8 からの情報

・卒業生

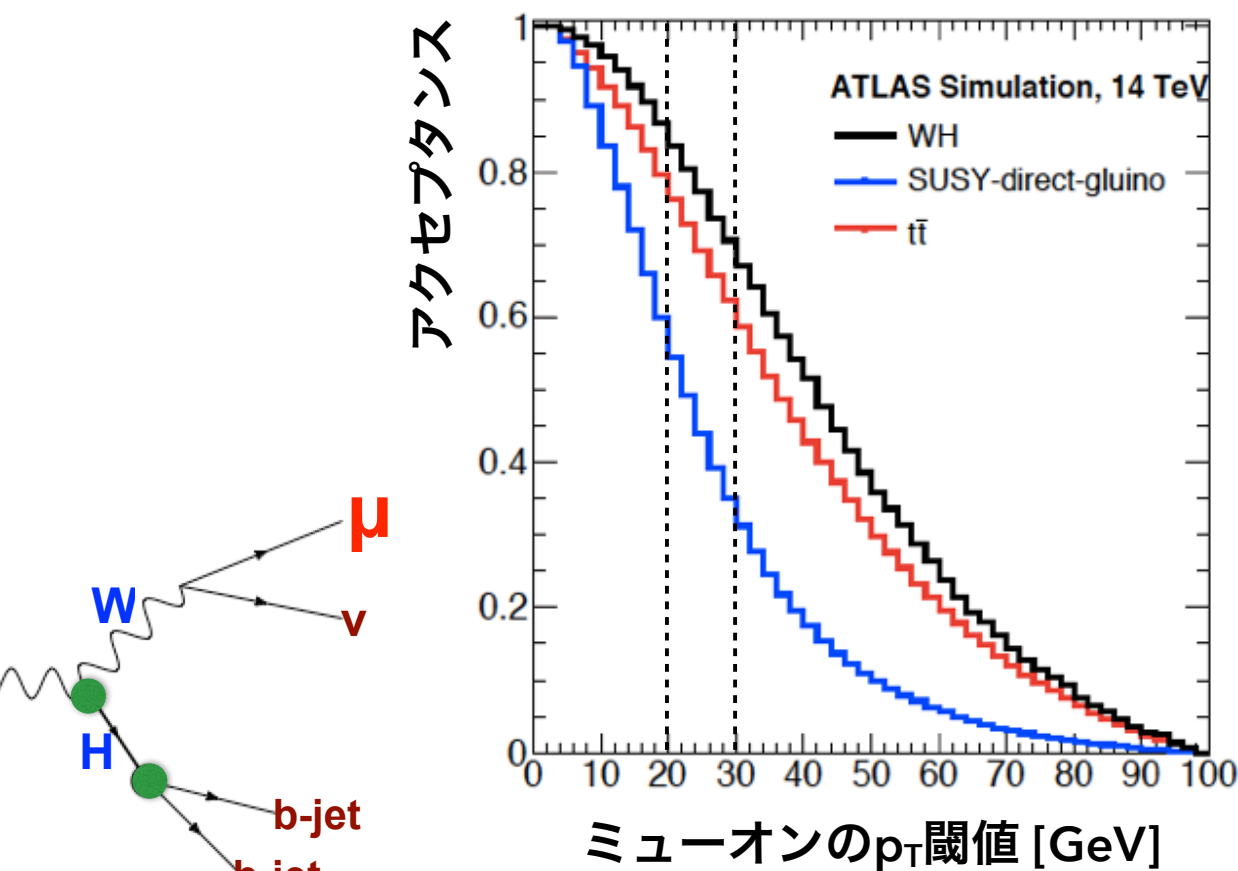
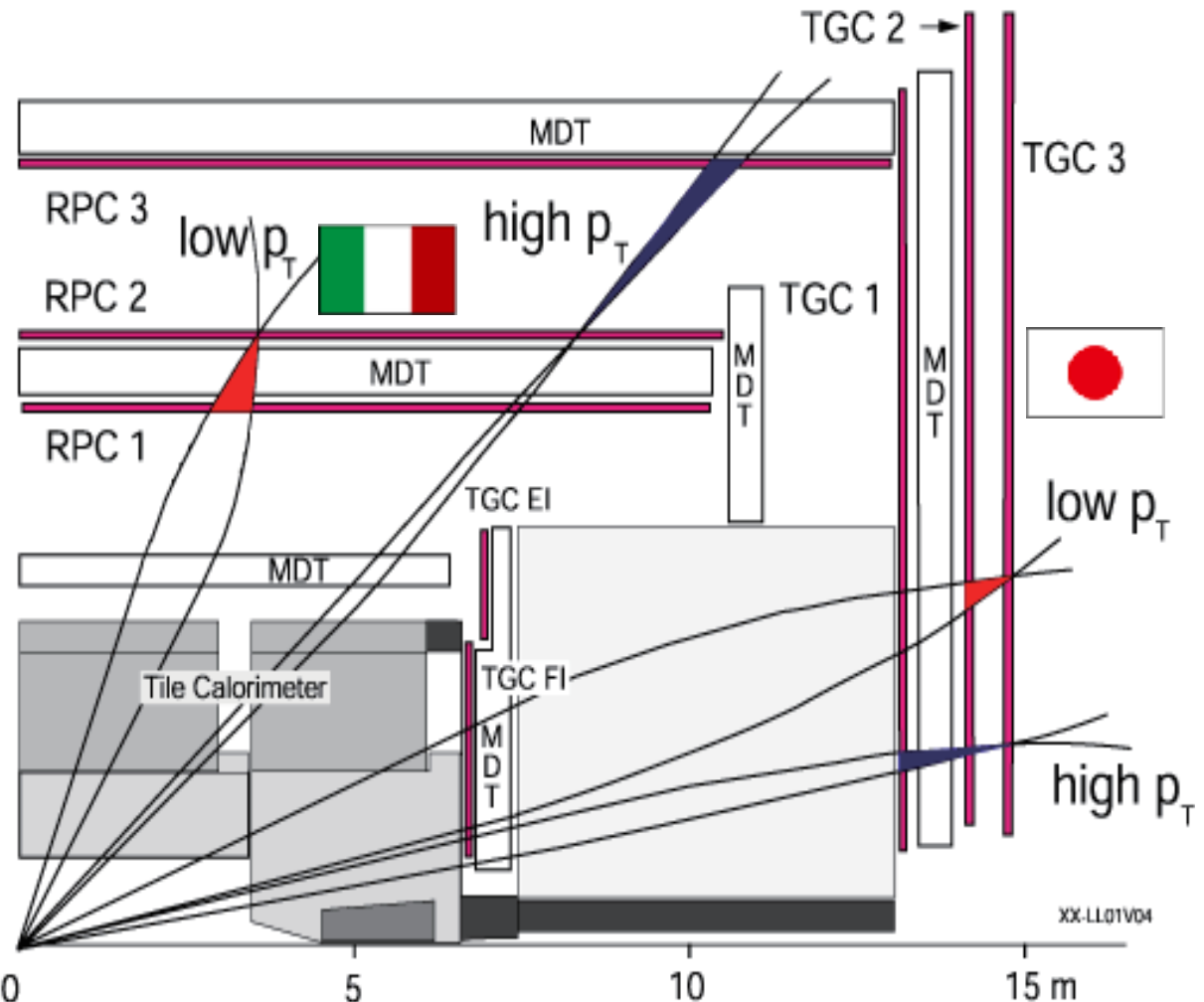
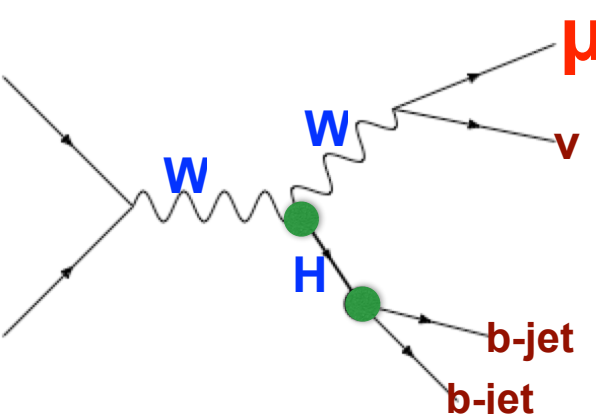
- 加茂(2015.3)
 - b-ジェット エネルギー較正の不定性測定。
- 門田(2016.3)
 - di-muon トリガーのバックグラウンド排除のための研究。

Level-1 muon trigger

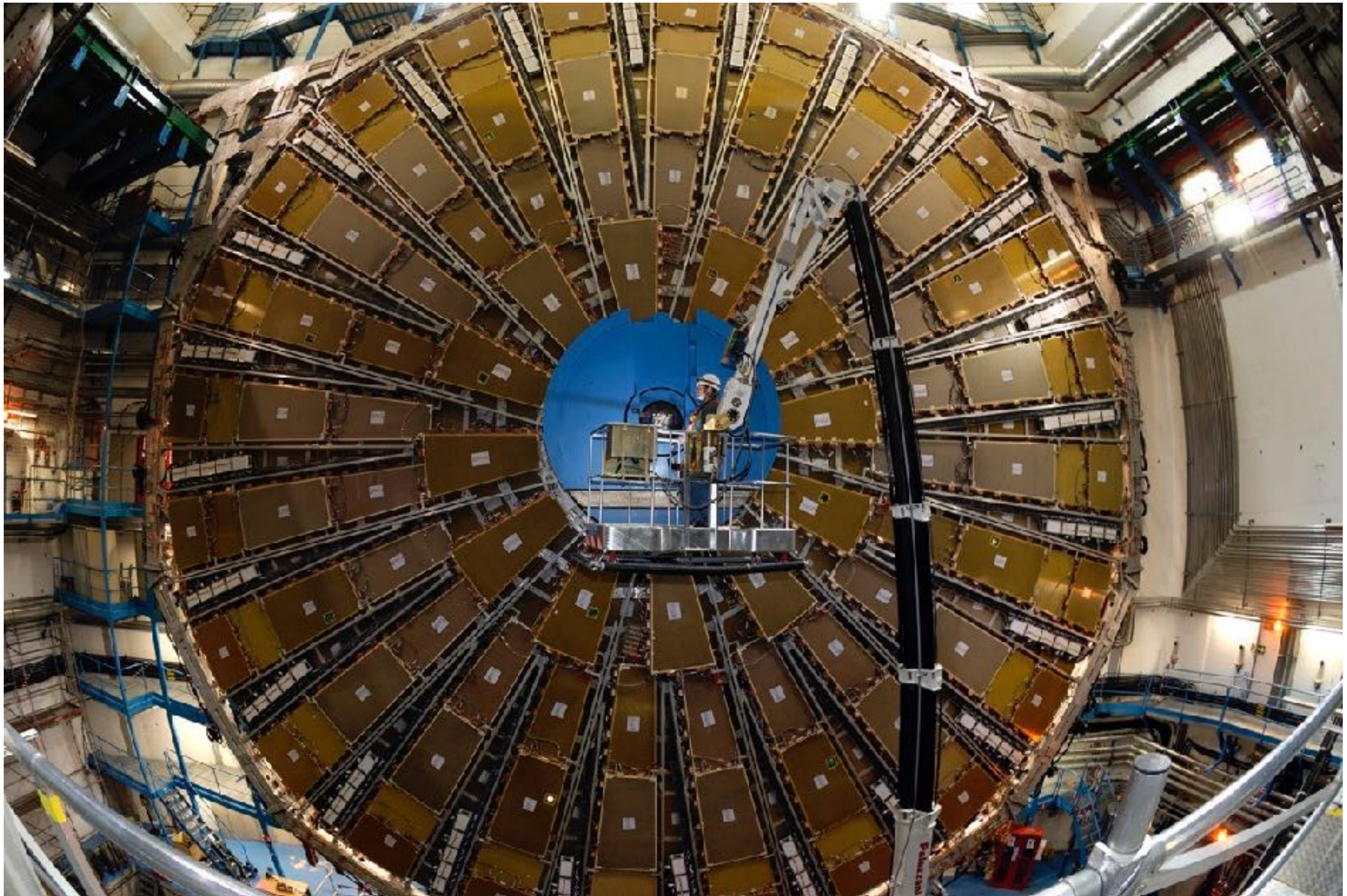
- ・ミューオントリガー検出器
 - バレル ($|\eta| < 1.0$)
 - ▶ Resistive Plate Chamber (RPC)
 - Roma-I, etc.
 - エンドキャップ ($1.0 < |\eta| < 2.4$)
 - ▶ Thin Gap Chamber (TGC)
 - 日本が
 - ✓ 検出器建設、
 - ✓ エレクトロニクス開発
 - ✓ 実験オペレーション
 - ✓ アップグレード

に関して大きな貢献をしている。

- ・手法
 - トロイド磁石による磁場で
「どれだけ曲がったか」を測定し、
横方向運動量(p_T)に対する閾値に応じた
トリガーを発行する。
 - ▶ この閾値を低くすれば物理に対する
アクセプタンスが大きくなるが、
レートも増大する。



Level1 Muon Endcap trigger



Level1 Muon Endcap trigger

・歴史

- 開発
 - 南條, 石野, et al.
- 製作, 建設, 試験
 - 石野, et al.
- 運転 (代表者)
 - Run1 : 石野
 - Run2 : 隅田
 - 検出器の修理などのメンテナンスを行う。
 - 実験中の様々な問題に対応する。

・現在と今後

- トリガー性能の評価
- Run2 での改良
 - TileMuon coincidence
 - BurstStopper
- Run3 以降のアップグレード



L1-MU-EC upgrade

・問題

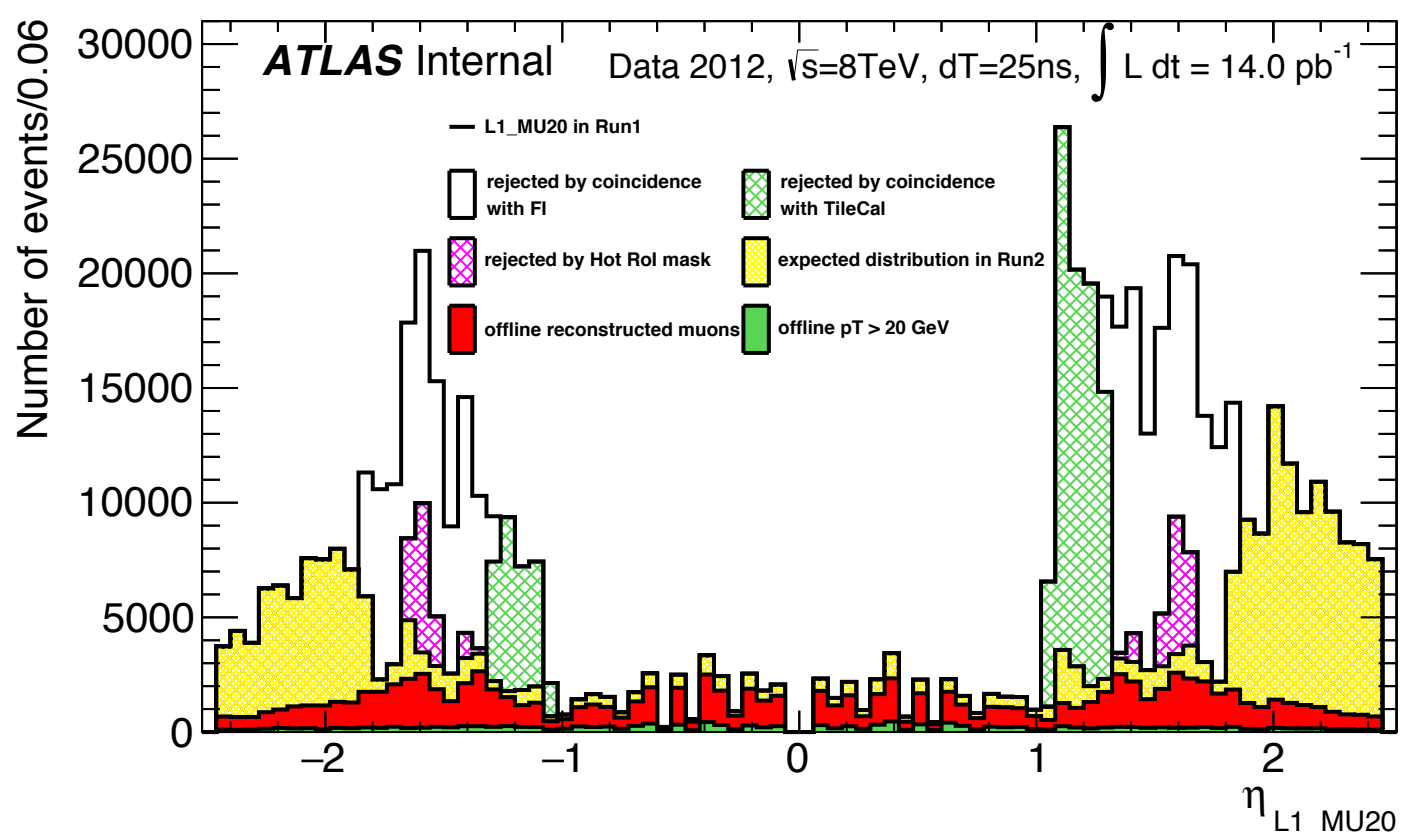
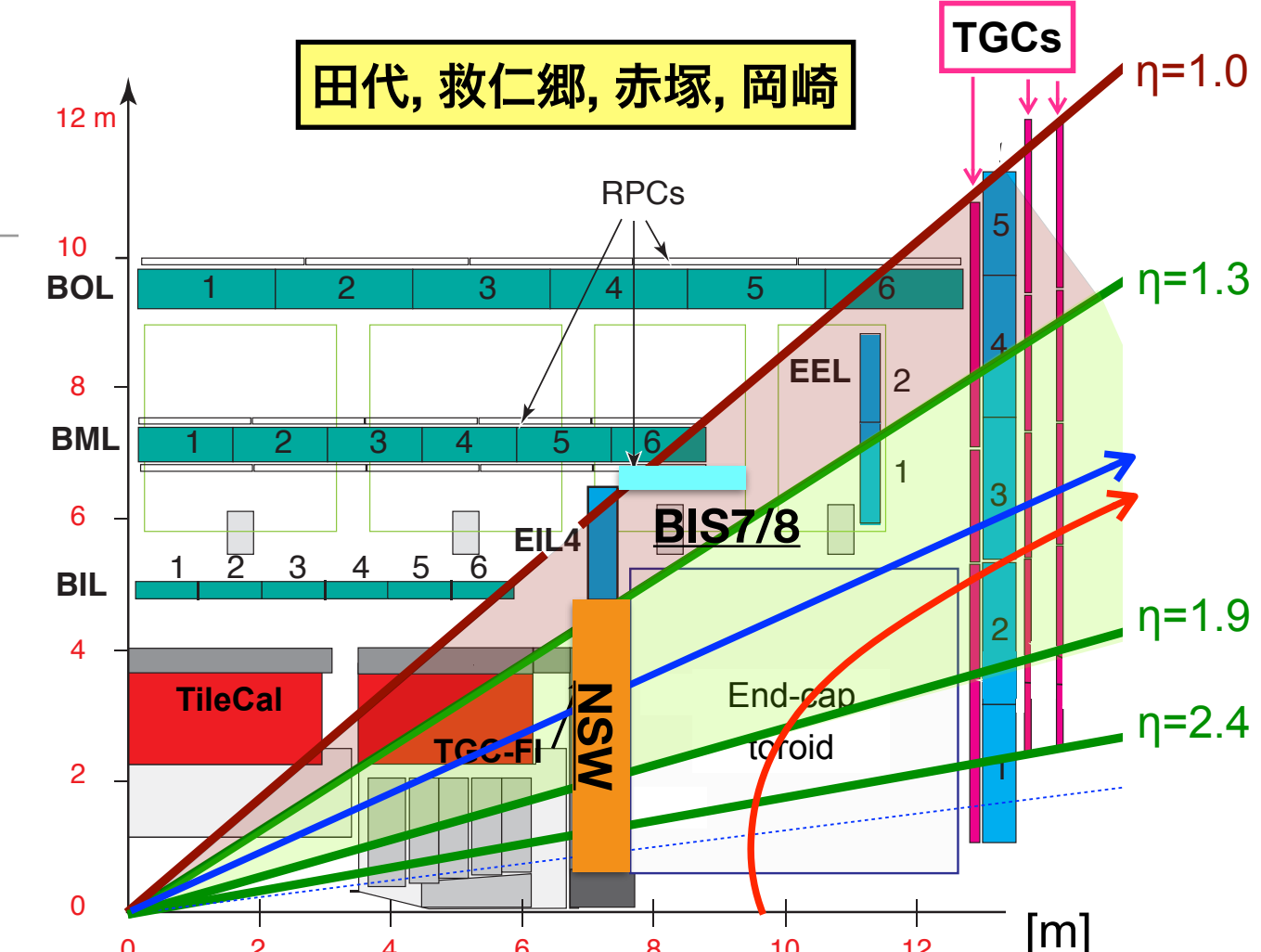
- $|\eta| > 1.0$ のエンドキャップ部だけに、想定外に多くのミューオントリガーがあった。
 - ▶ 原因: 衝突点起源でない(遅い)粒子

・対策

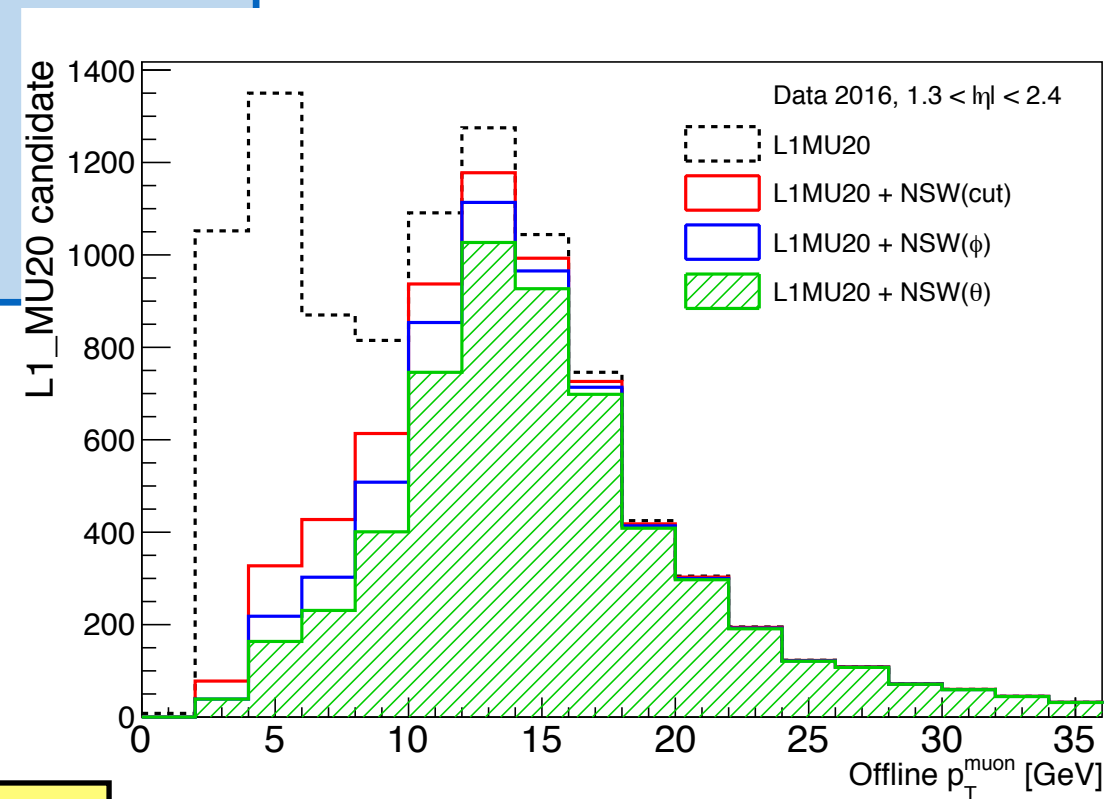
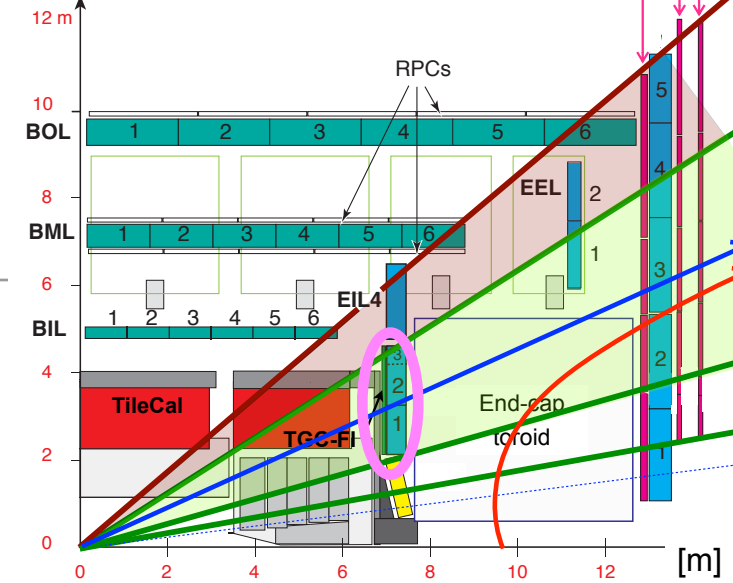
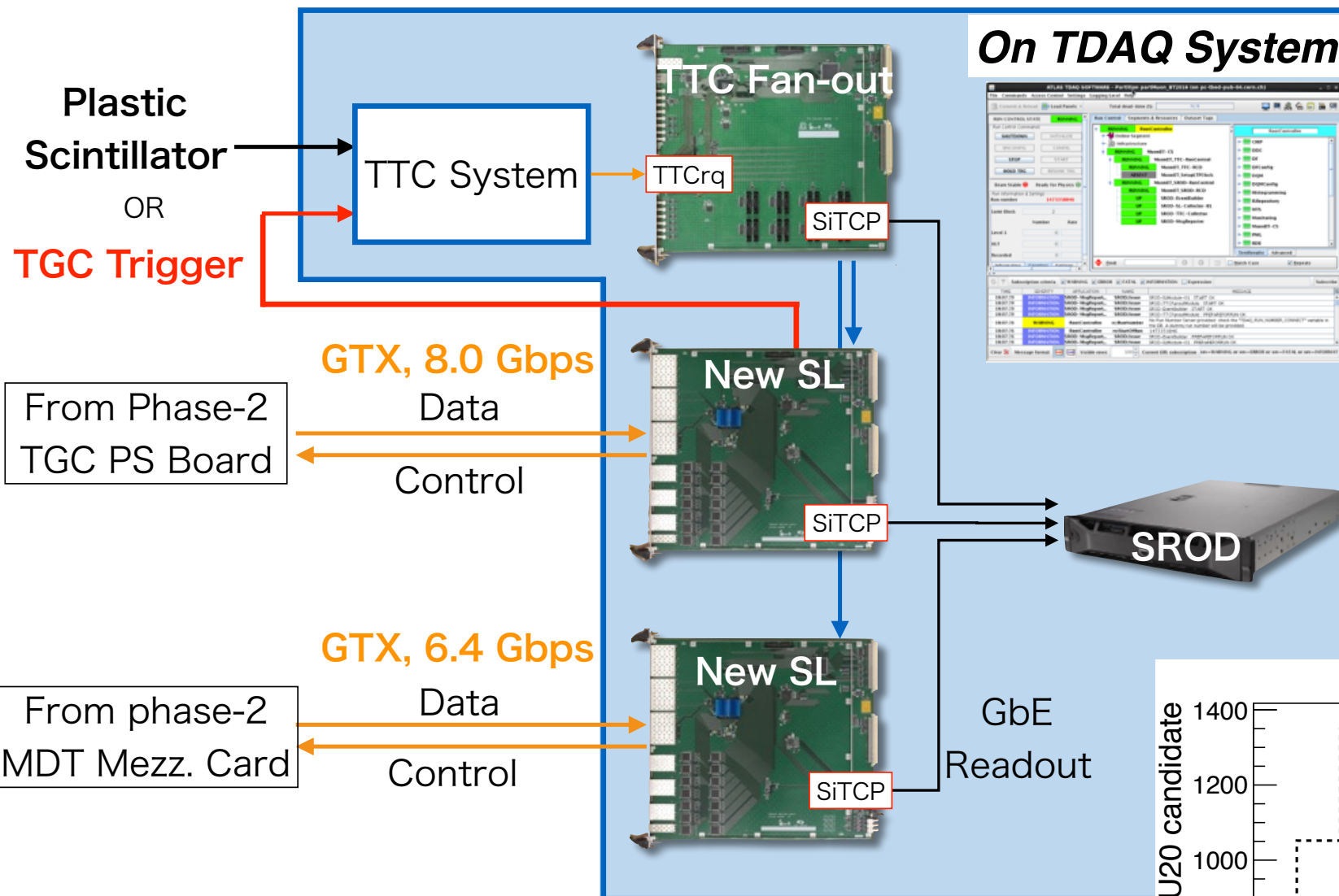
- 磁場よりも内側の検出器と TGC とのコインシデンスを取って、バックグラウンドを取り除く。
 - ▶ Run2
 - TGC-FI : 田代
 - TileCal : 救仁郷

▶ Run3 : 赤塚、岡崎

- FI を New Small Whell : 方向情報も持った検出器で置き換える。
 - ✓ トリガーボードも新しくする。
- バレル部にも新検出器 RPC BIS7/8
 - ✓ ローマ大学と共同で勧める。



Run3 に向けた新しいトリガーボードの作成

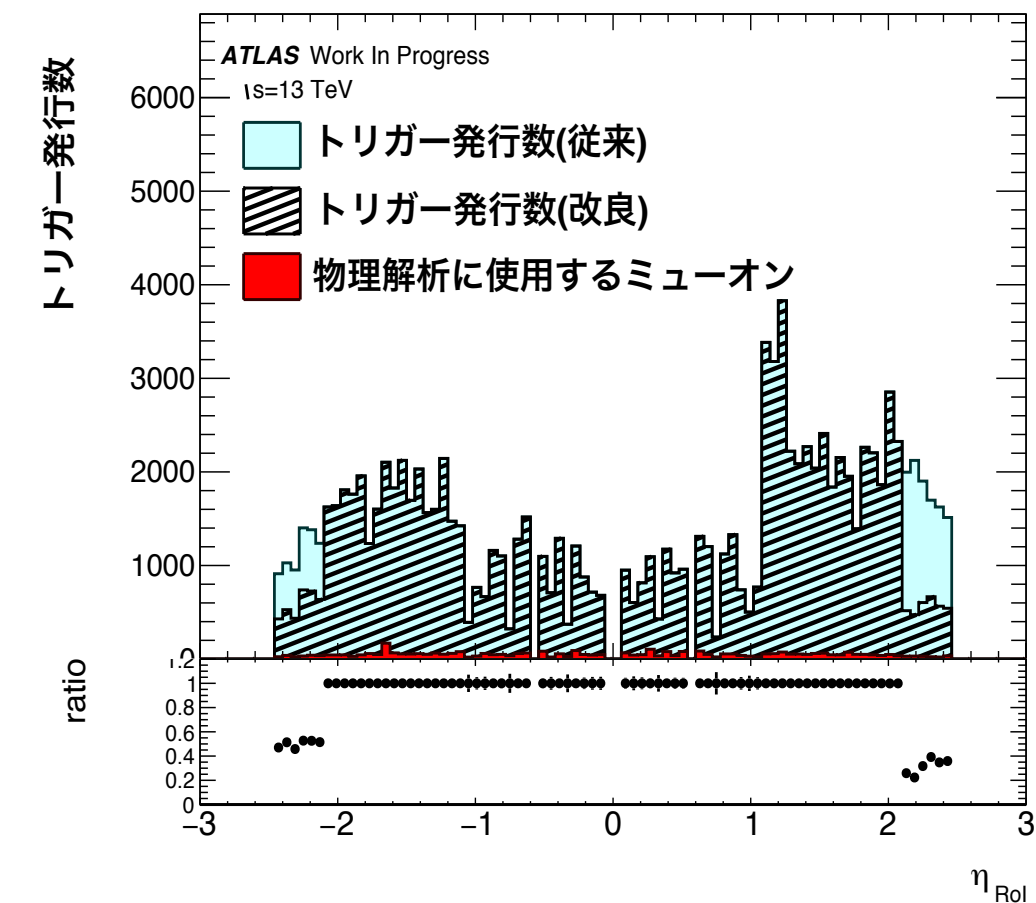
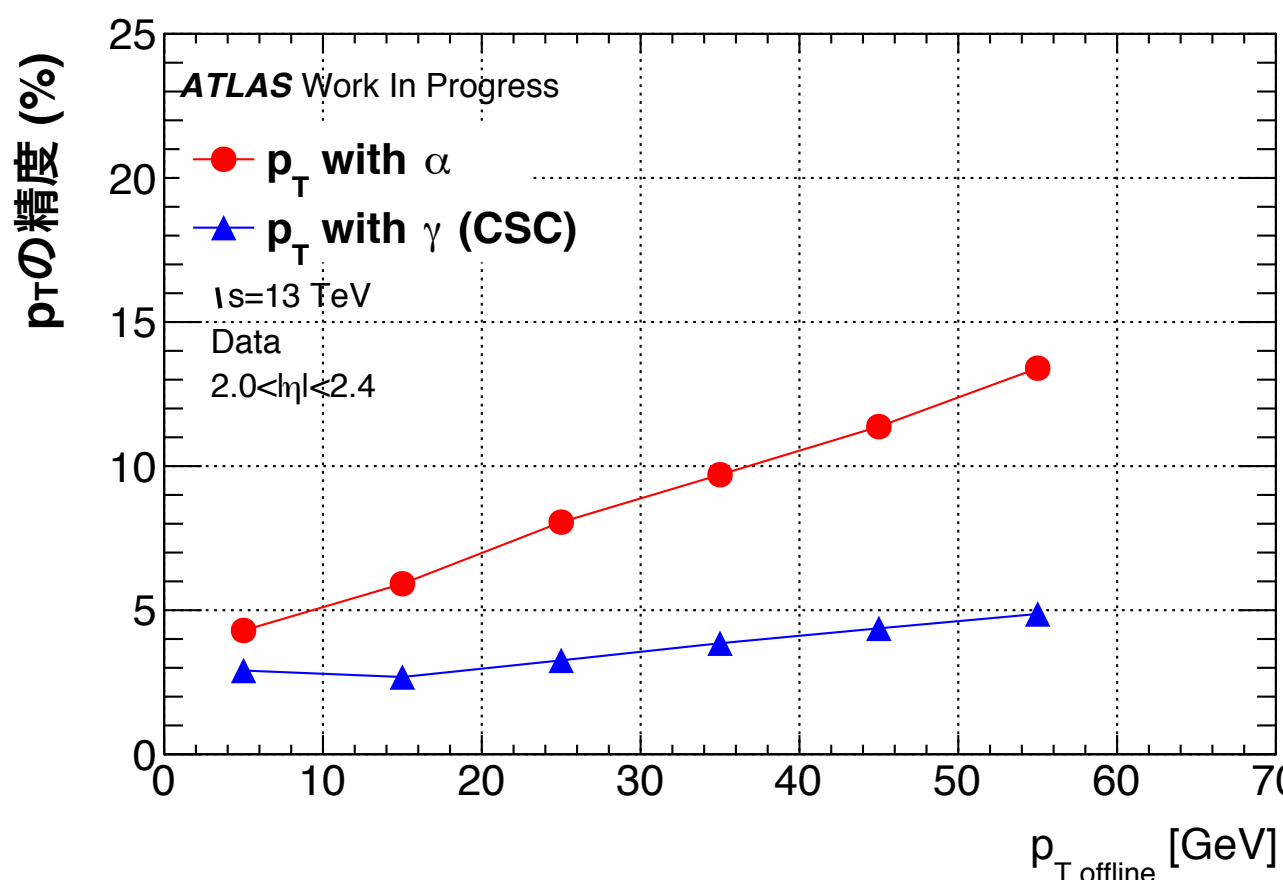
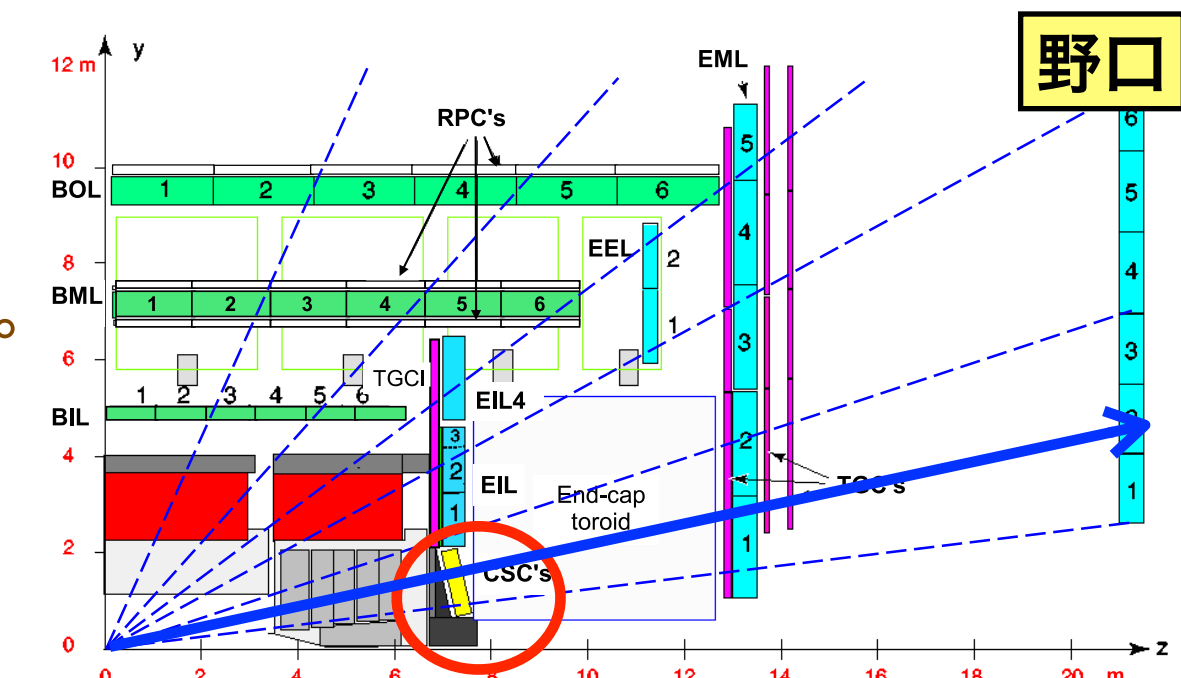


- ・プロトタイプでの各種テスト
 - 新しい高速データ通信の検証
 - トリガー用チップの動作試験
 - ▶ CERN でのビームをつかったテスト
- ・新しいトリガーの原理検証
 - ✓ 基盤開発は佳境に！

赤塚, 岡崎

ミューオンハイレベルトリガー

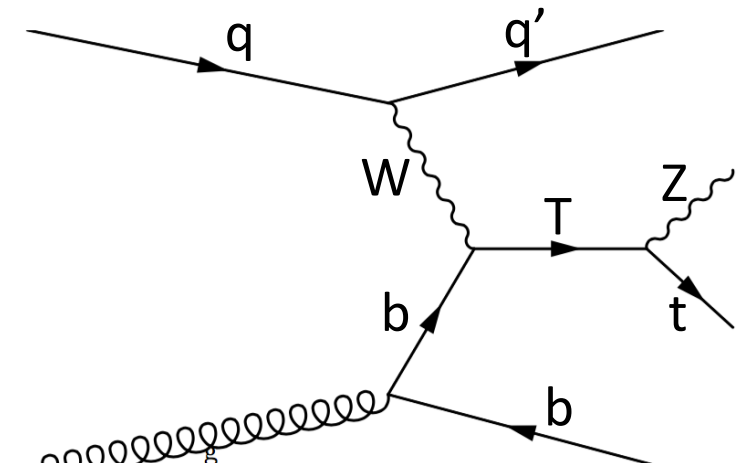
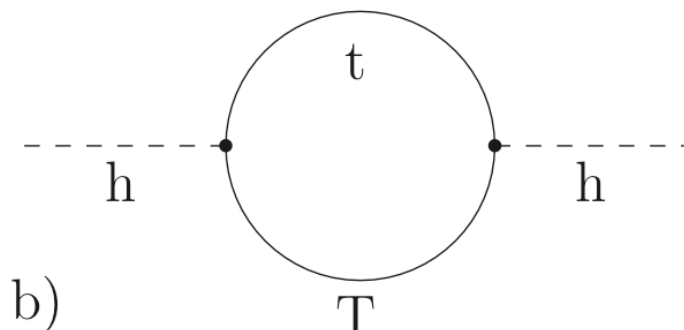
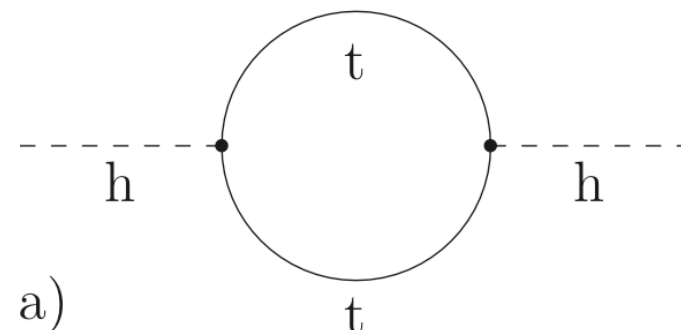
- L1をパスしたミューオンに対して MDT(水色、黄緑)の情報を使って p_T を計算し、次段のトリガーを発行する。
 - ここに今まで使われていなかった **CSC** を導入する。



Vector-Like Quark 探索

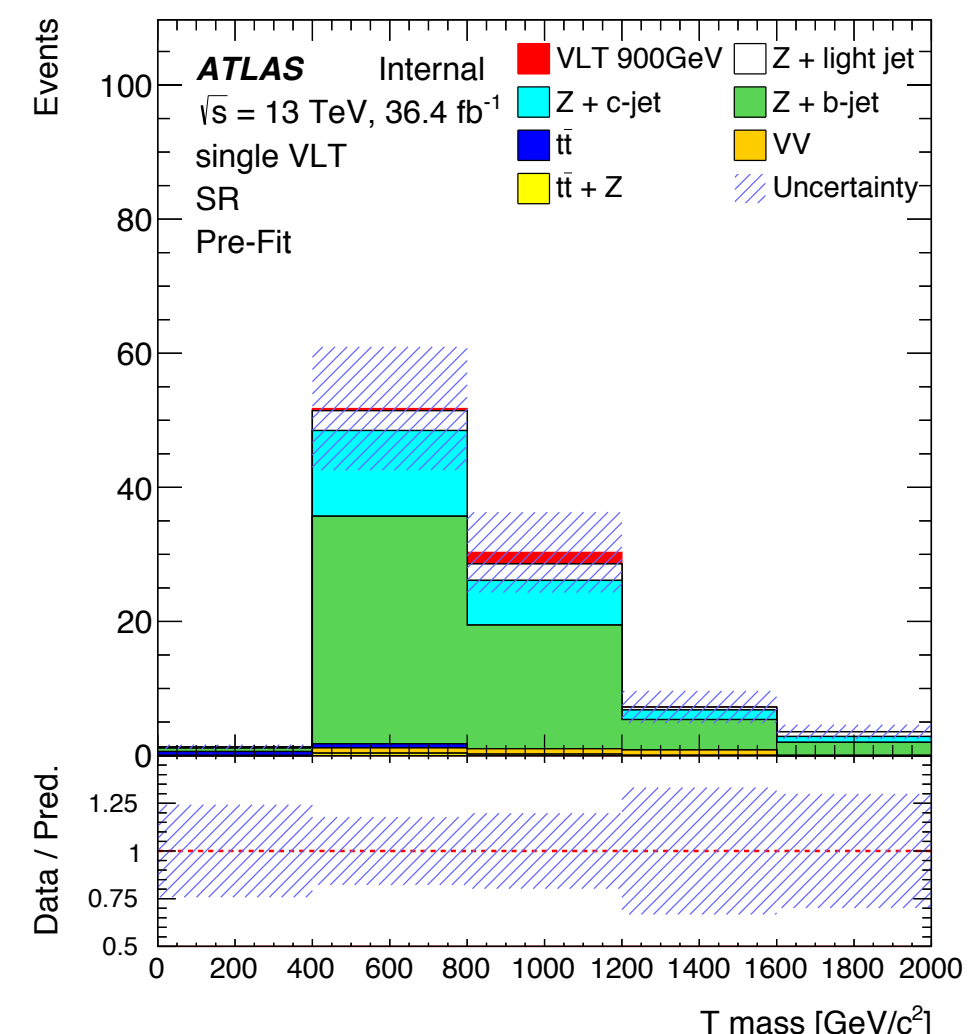
- 階層性問題の解決?

田代



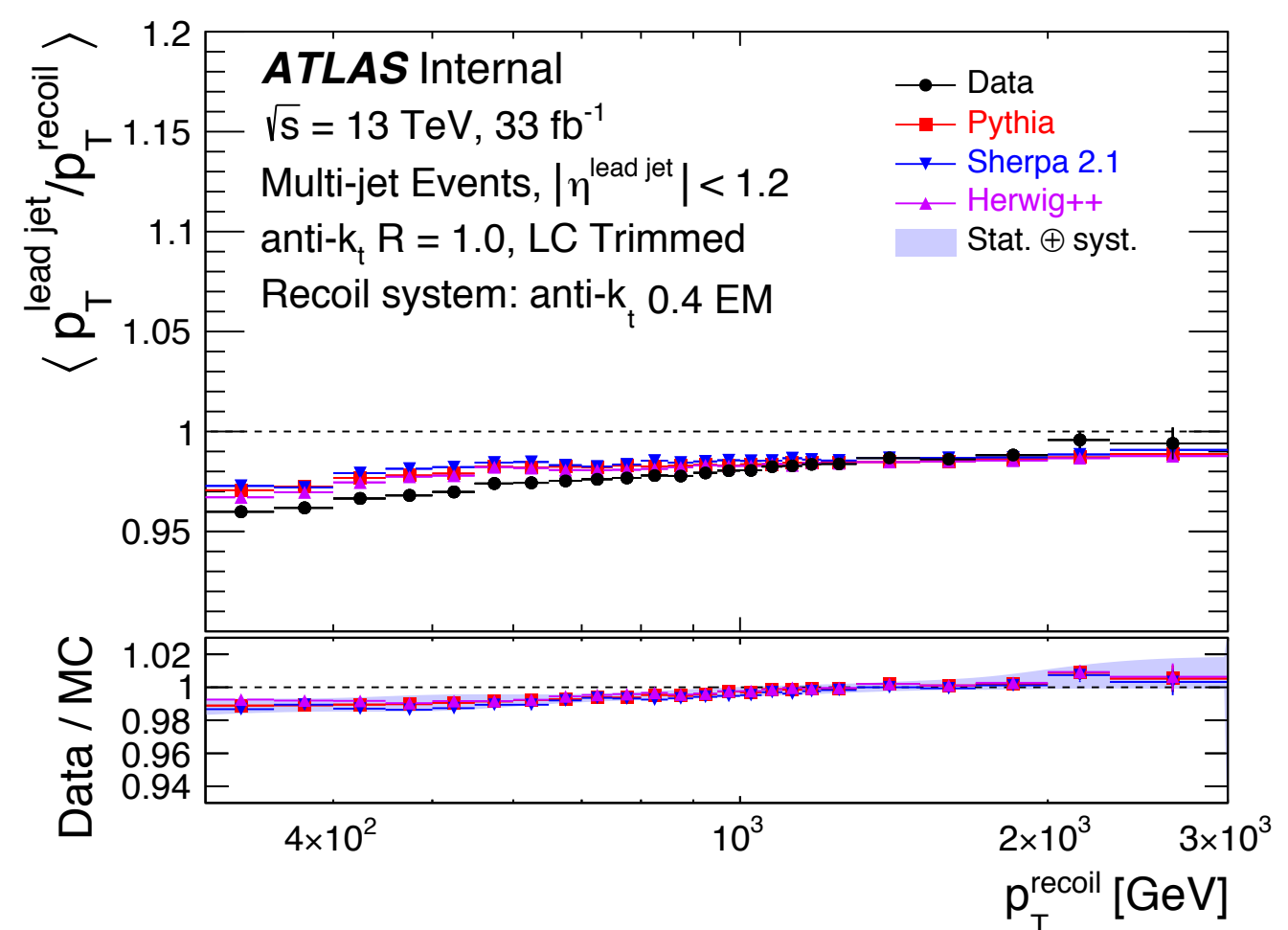
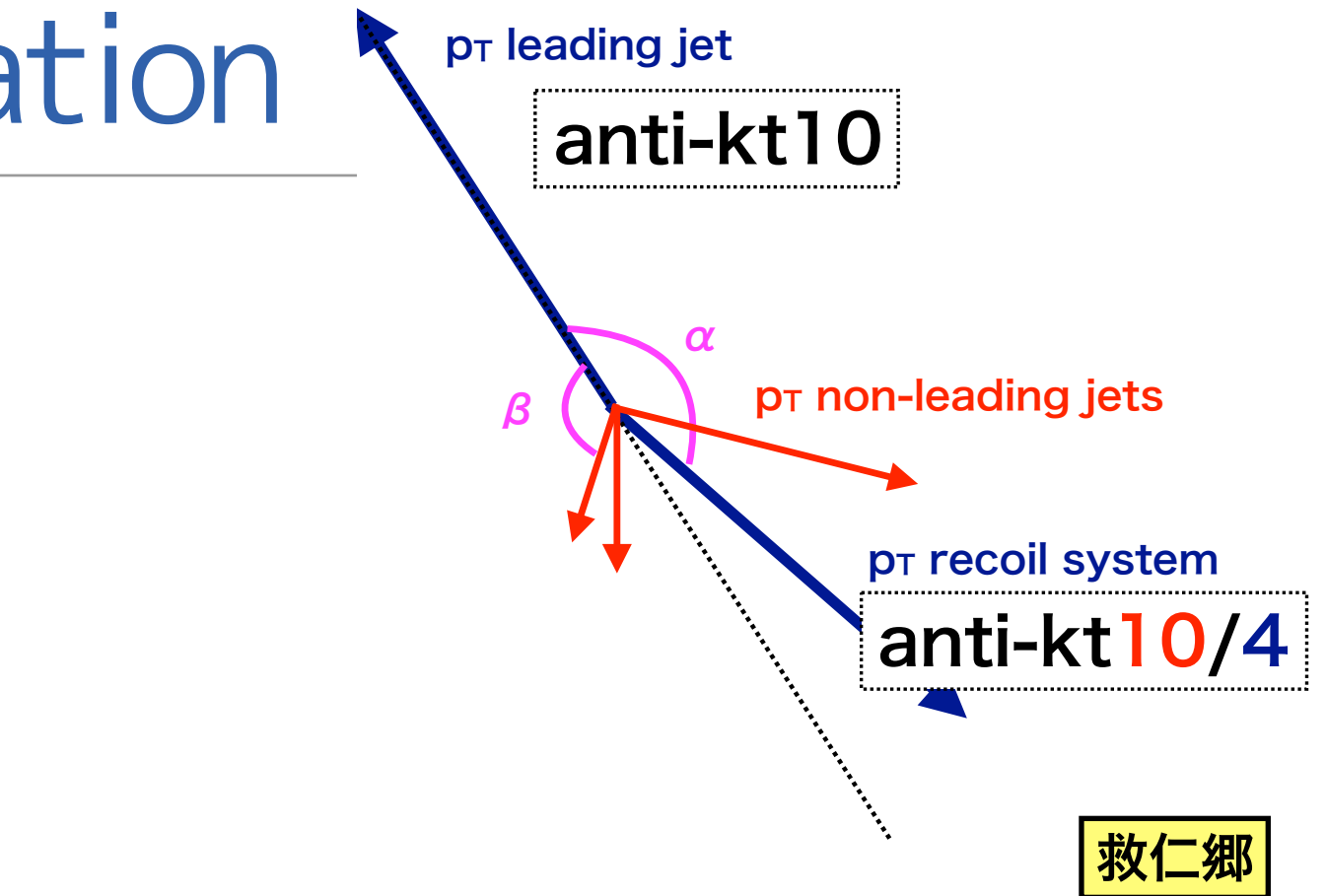
✓ ヒッグス質量の量子補正(a)における発散を T のループ(b)でキャンセルできる。

- 13 TeV データを使った解析が進行中。



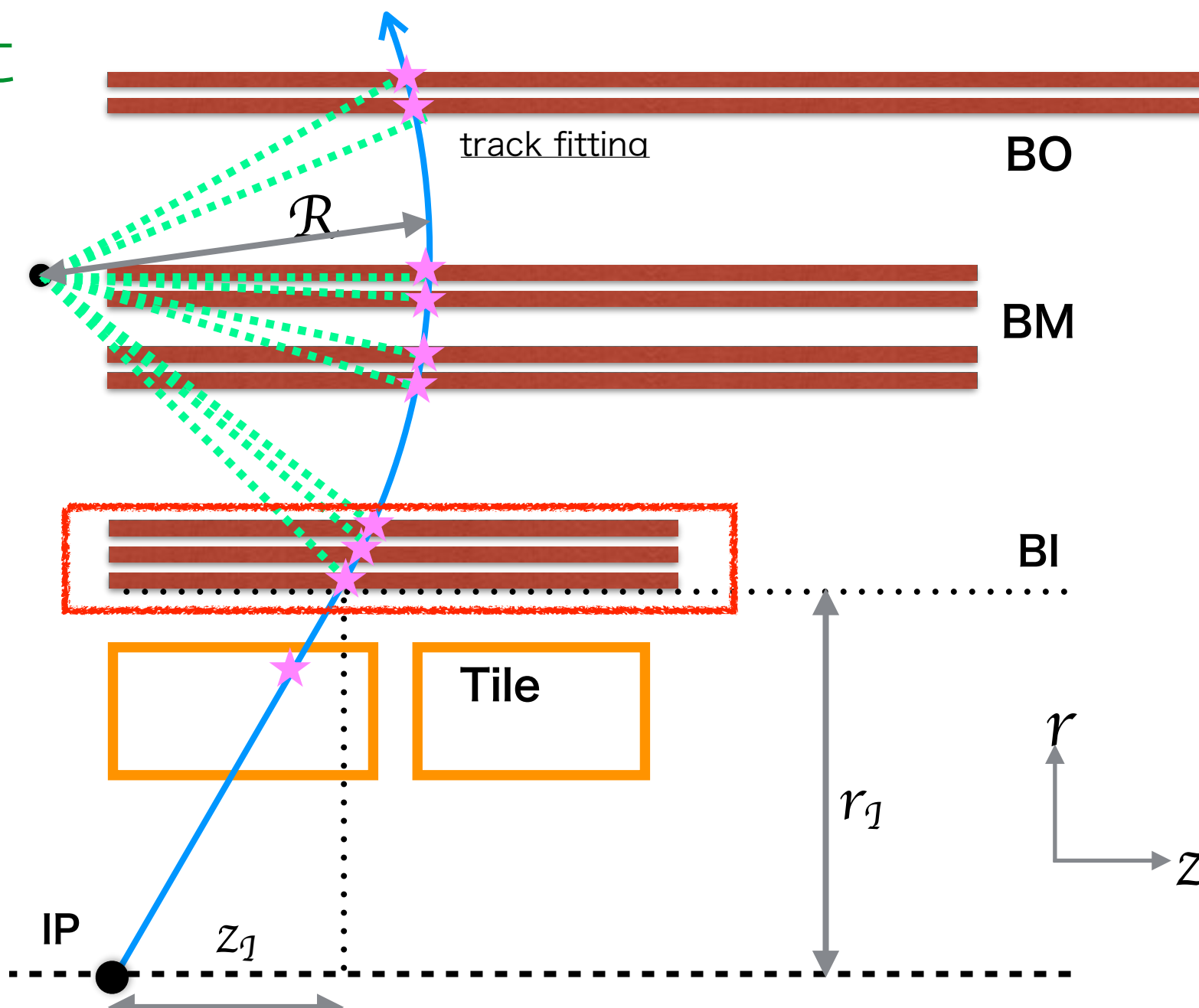
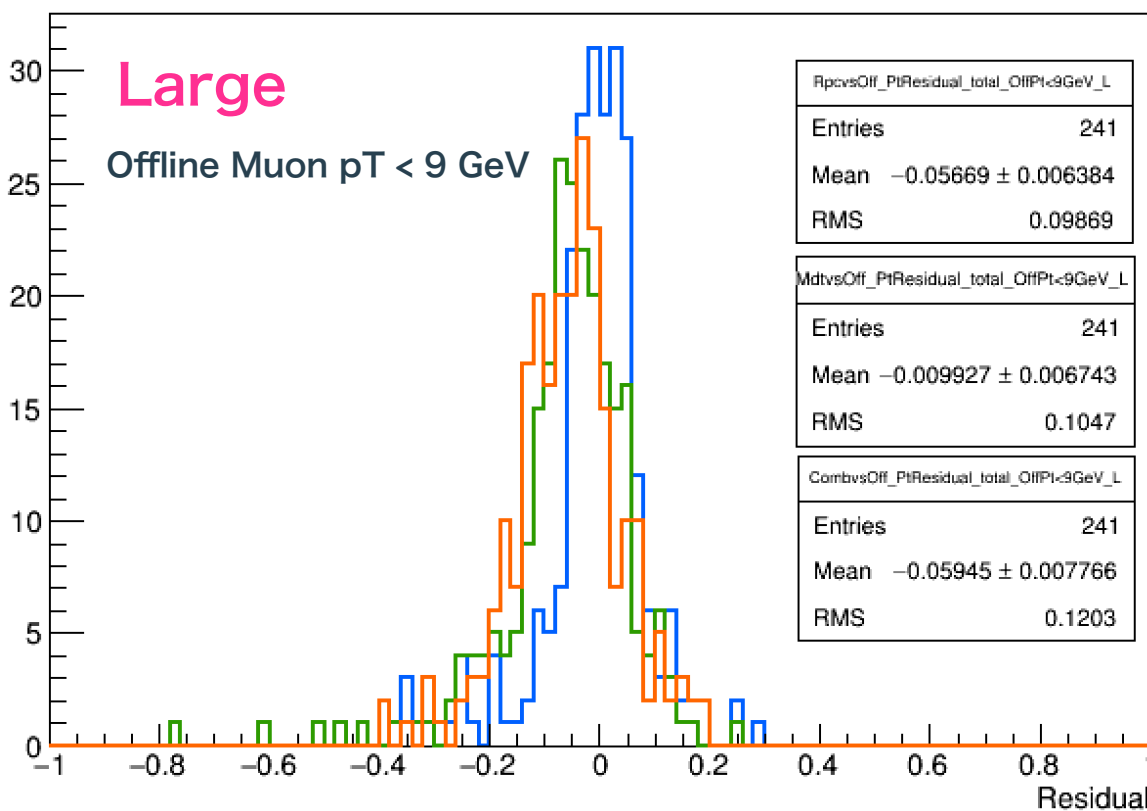
Large-R jet calibration

- 重い新粒子が崩壊してできたボソンによる「大きな」ジェット
 - エネルギーの精密な較正
 - 系統誤差の見積り
 - › データを使ってやる
 - di-jet
 - Z/gamma + jet
 - multi-jet
 - ✓ ここを頑張って、一番高い p_T までエネルギーを精密に測定。



その他の新しいアイデア

- HL-LHC (Run4) では、バレル部のミューオントリガー検出器(RPC)に新しい層(BI)が加わる予定。
 - これを使ってトリガーの時点でトラッキングを行い、レートの削減ができるのか？
 - ▶ ローマ大学との共同研究



まとめ

- CERN の LHC 加速器は(少なくとも2030年まで)世界の高エネルギー フロンティア。

- 唯一のヒッグスファクトリー。
- 新粒子の直接発見を行える場所。

- 京都 ATLAS グループ

- LHC での新物理の発見を目指して
 - ヒッグスの精密測定のためのミューオントリガーの改良
 - 新粒子の探索
 - を精力的に行っている。

- 国際研究グループ

- CERN に長期滞在しながら、世界中から集った(超一流の)研究者と一緒に研究ができる。
 - ドイツ
 - イタリア
 - イスラエル
 - などと仕事をする事が多い。
- 大所帯だが、結局1人1人の仕事がとても重要。

- 具体的な研究項目

- Run3 での L1 ミューオンエンドキャップトリガーアップグレード
 - 新しいトリガーのための New Sector Logic の開発
 - New Small Wheel
 - RPC BIS7/8
- Run4 での L1 ミューオンバレルトリガーアップグレード
 - TGC / RPC トラッキングトリガーの開発
- Run2 での研究アイテム
 - ミューオンハイレベルトリガー
 - ジェットのエネルギー不定性測定

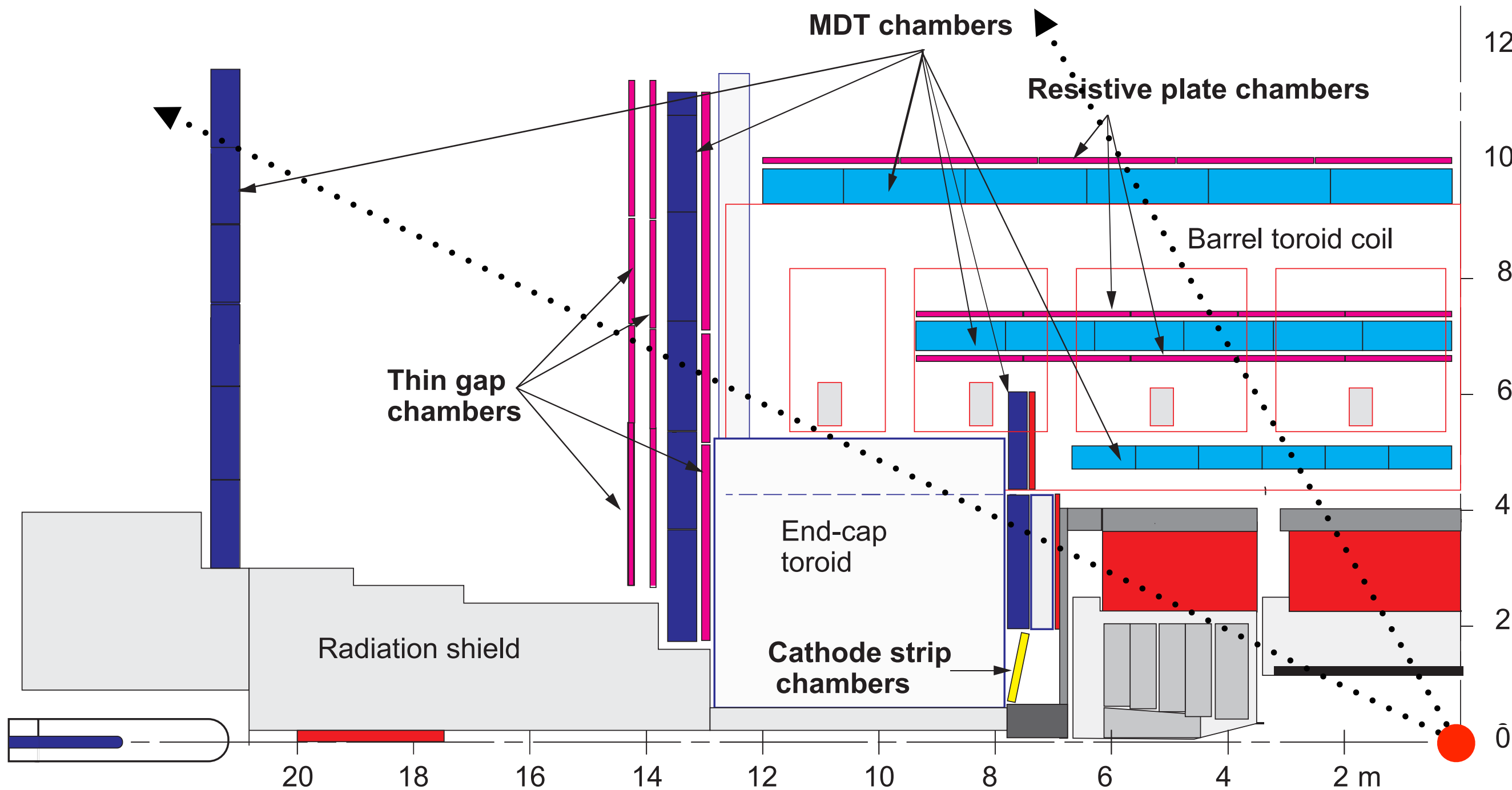
これらの仕事をきっちりやって、博士過程で物理解析に移行する、というのが理想。

- Run2 の全データが M2 の半ばで出揃う。
- Run3 の開始は D2 から。
「自分の」検出器でデータを取って、D論が書ける!

Backup

ミューオン検出器

- 各検出器の全層の情報からミューオンの位置と運動量を測定する。



Trigger system in ATLAS (Run1)

- ・陽子バンチの交差頻度: 40 MHz

- 衝突を全部見てどれを残すか
判断するのは不可能。

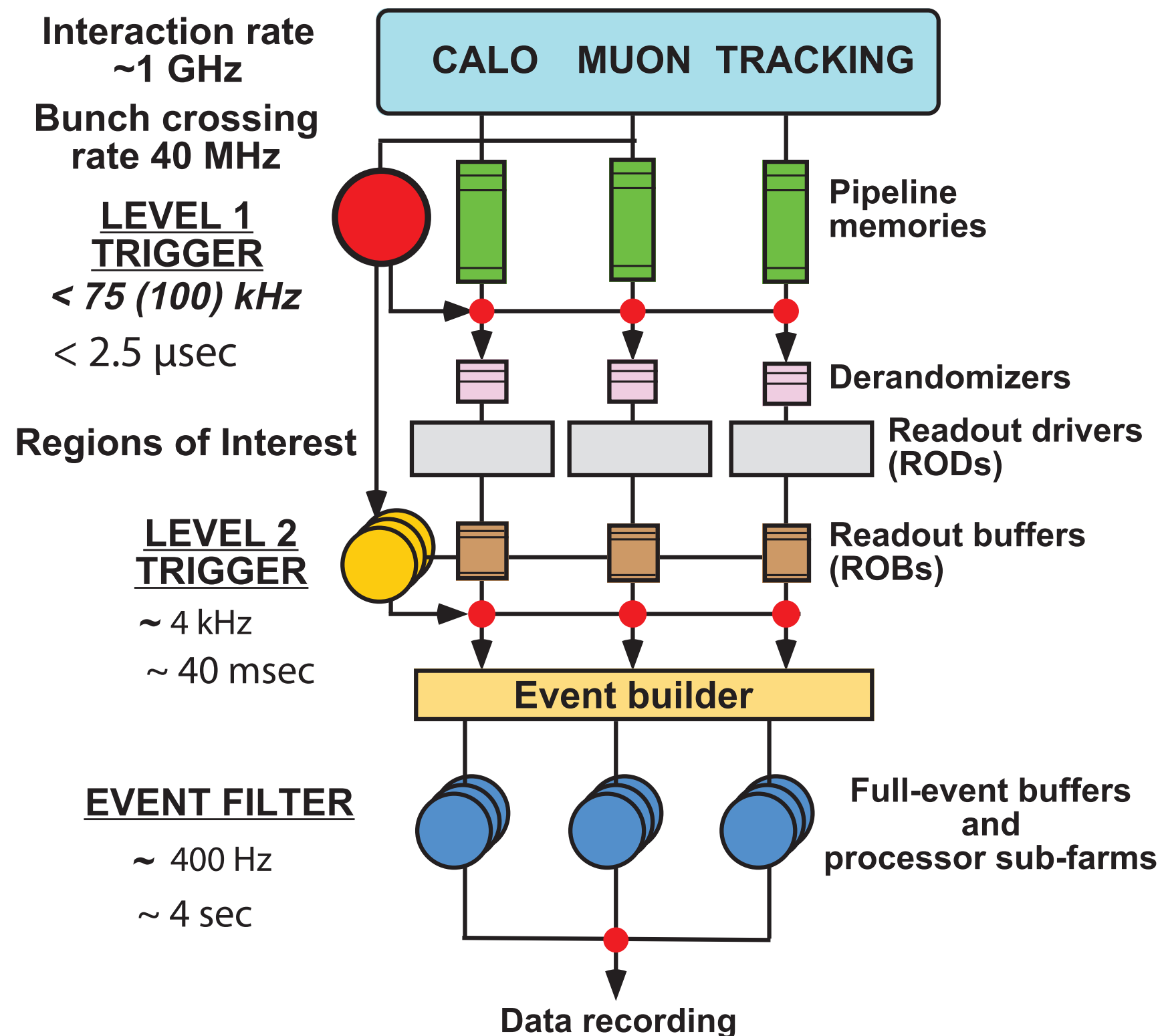
- 多段トリガーを用いる。
 - 効率よくレートを落とし
次のレベルに渡すことが必
要。

- ・レベル1トリガー (L1)

- ~1μsec でトリガー判定を
行う必要がある。
→ **専用ハードウェア** を用いる。
 - Full bandwidth :
100 kHz in Run2

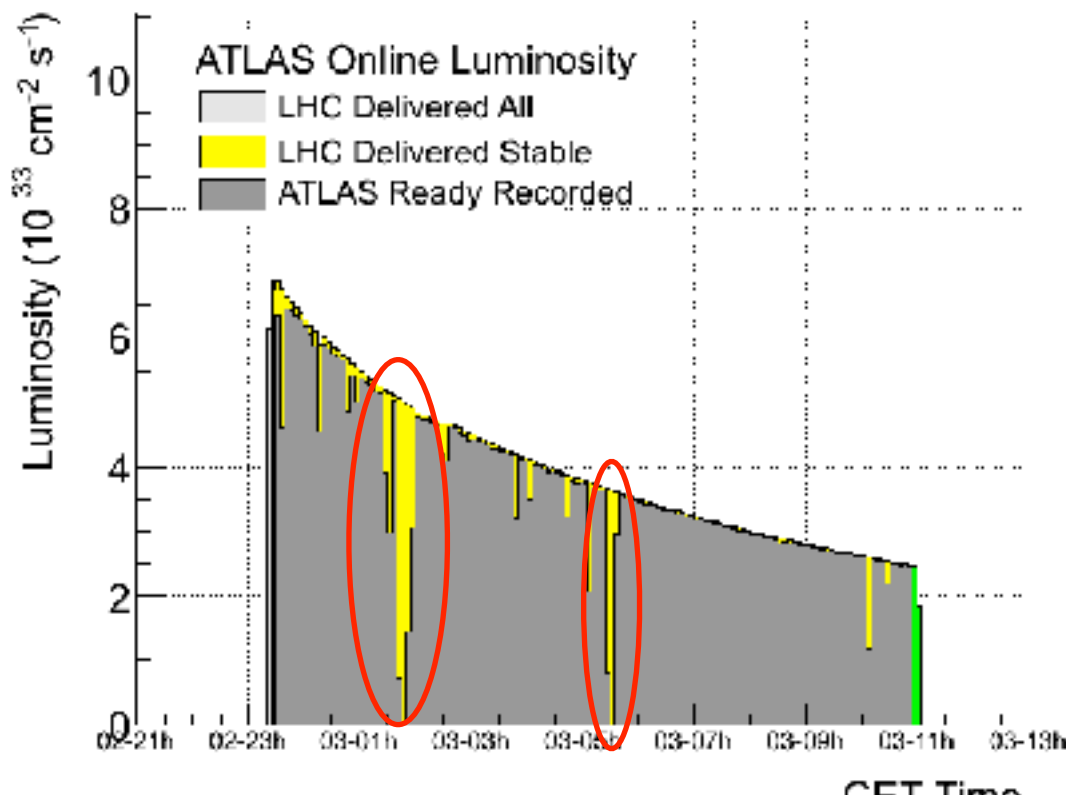
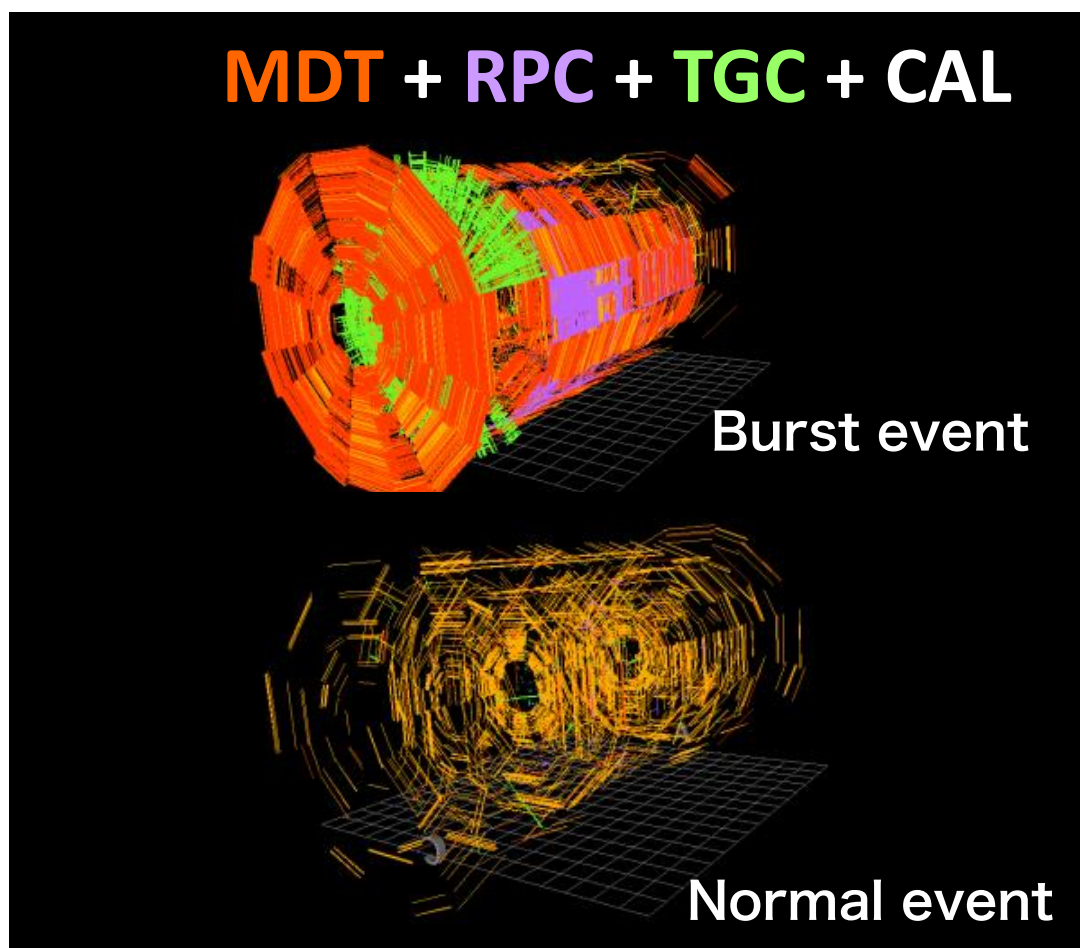
- ・高レベルトリガー

- **CPU** (PC)でのトリガー判定。
 - レベル2 (L2) : ~ kHz
 - イベントフィルタ (EF) : ~ 100 Hz
 - Run2 では “**HLT**” として
統合された。

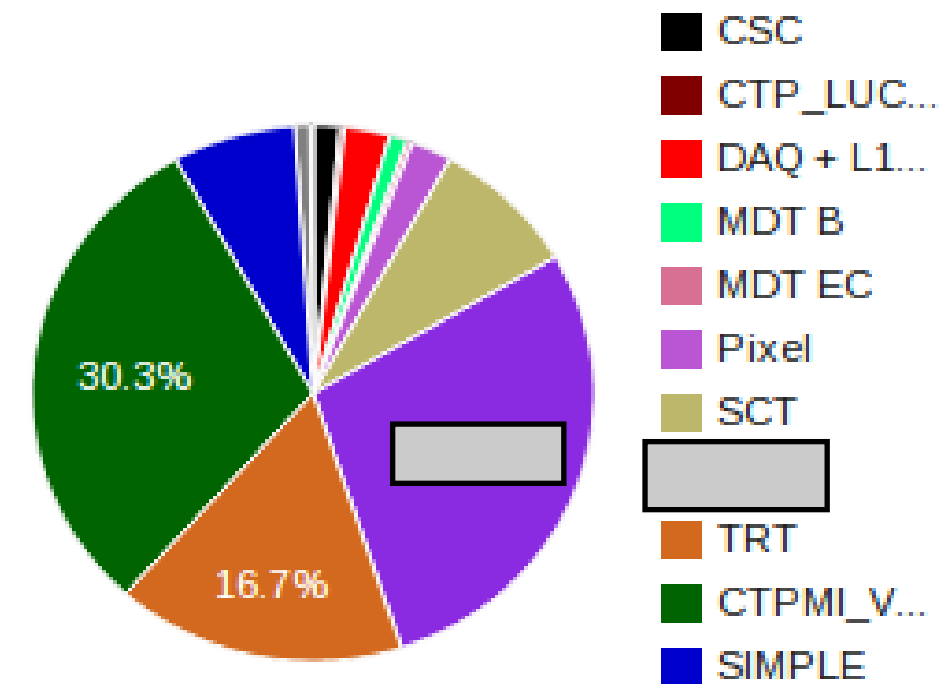


バースト事象

- Run1 での ATLAS data taking における大きな dead time を作った原因
 - ~ μsec にわたってミューオン全検出器に多量のヒット。
 - システムの自動復旧が不可能な程の大規模なエラーが起こる。
 - ATLAS が 100% busy 状態に。
 - TGC の完全リスタート: ~4分。
- 2012年データに4イベント発見。
 - 物理事象ではなく、大きな電気的なノイズであるようだ。
 - “Burst event” と呼ぶ。しかし原因は不明。
 - 何故か LHC の lumi が上がると頻度が増える ??
→ もっと沢山のデータが必要 → 専用トリガーの開発。
 - 長時間トリガーを出し続けるのを止めないといけない。
→ L1 veto 機能の追加。



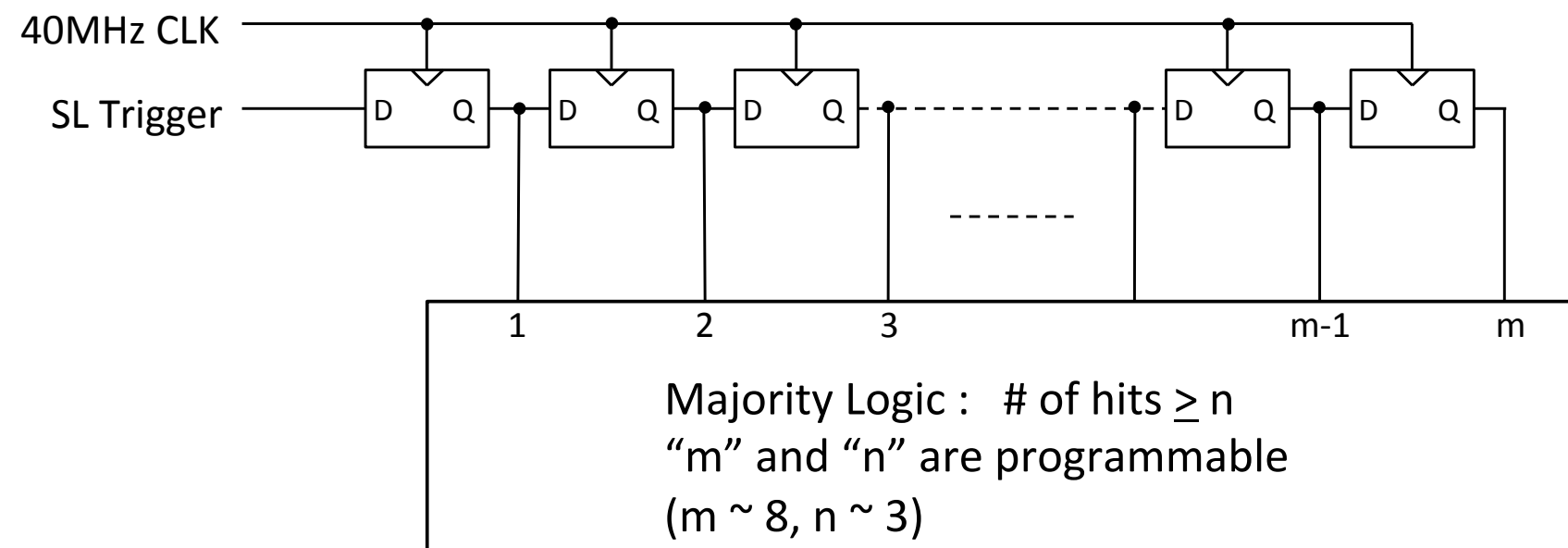
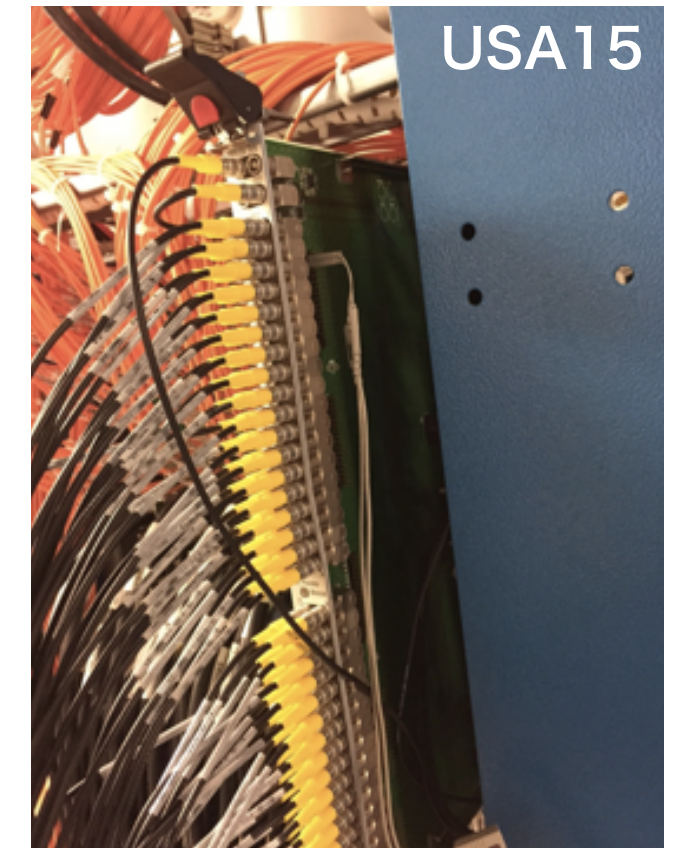
Dead time sources (seconds)



Burst stopper

- New features in Run2

- SL にバースト判定ロジック
 - ▶ バースト状態ではトリガーを出さないようセクター毎に設定する。
- “Burst Merger” board
 - ✓ 72 NIM inputs, 4 outputs : 開発、インストール完了。
 - ▶ 全 SL からの信号を統合して TGC レベルでのバースト判定を行う。
 - ▶ バースト信号 → CTP に直接入力
 - トリガー
 - ✓ 専用 menu: L1_TGC_BURST, 専用 data stream:
calibration_TgcNoiseBurst
 - ✓ 2015年ランで導入。
 - L1 veto
 - ✓ 別信号で送っているがまだ monitoring mode 。



Trigger output VETO
(duration of veto : programmable)

Burst event 2015

- ・約 200 事象を取得。
- ・2016年ランに向けて
 - L1 veto を稼働させるためのバースト判定条件の最適化。
 - ↙ これがないとまともに ATLAS を運転できなくなる可能性もあるので Lumi が上がる前 (<1e34)にやってしまう。

